

**Pengembangan Instrumen Kontrol Stabilizer Posisi Kamera
Dalam Dua Derajat Bebas Menggunakan
Sensor Percepatan H48C**

Skripsi

Disusun untuk melengkapi syarat-syarat
guna memperoleh gelar sarjana sains



**Aminudin
3225061778**

**JURUSAN FISIKA
FAKULTAS MATEMATIKA DAN ILMU PENGETAHUAN ALAM
UNIVERSITAS NEGERI JAKARTA
2011**

ABSTRAK

Aminudin. Pengembangan Instrumen Kontrol Stabilizer Posisi Kamera Dalam Dua Derajat Bebas Menggunakan Sensor Percepatan H48C. Skripsi, Jakarta : Fakultas Matematika dan Ilmu Pengetahuan Alam, Universitas Negeri Jakarta, 2011.

Telah dilakukan penelitian pengembangan instrumen yang digunakan sebagai kontrol stabilizer posisi kamera. *Stabilizer* posisi kamera mengatur keadaan kamera tetap menghadap ke bawah ketika mengalami gangguan. *Stabilizer* ini bisa menyesuaikan segala perubahan dengan respon dan akurasi yang baik. Dalam *stabilizer* ini terdapat perbedaan besaran antara nilai masukan dan nilai keluaran, yaitu besaran sudut (sensor) dan besaran waktu (servo). Sensor yang digunakan dalam penelitian ini adalah H48C yang memiliki tingkat akurasi 100%. Untuk mengetahui hubungan antara kedua besaran tersebut, digunakan persamaan regresi yang didapat dari perhitungan sempel data yang telah diambil. Persamaan regresi kemudian dimasukan ke dalam mikrokontroler sebagai dasar sistem kontrol yang digunakan. Dalam pengujian didapat tingkat akurasi stabilizer kamera pada sumbu x sebesar 98.7%, dan pada sumbu y sebesar 97.3%. Perbedaan nilai akurasi pada sensor dan stabilizer kamera disebabkan terdapat celah antara servo dengan lempengan *stabilizer*.

Kata kunci : *Stabilizer* kamera, sistem kontrol, persamaan regresi.

ABSTRACT

Aminudin. The Development of Instrumentation to Control Stabilizer Position of Camera in Two axes Using Acceleration Sensor H48C. Thesis, Jakarta: Faculty of Mathematics and Natural Sciences, State University of Jakarta, 2011.

The Instrumentation that is used to control a stabilizer camera has been researched. The function of camera Stabilizer is always set the state of camera facing down when disturbed. This stabilizer can adjust these changes in the good response and accuracy. In this stabilizer there is a difference between the input value and the amount of output value, namely the amount of angle (sensor) and the amount of time (servo). The sensors used in this research is H48C having 100% of accuracy rate. To determine the relationship between two quantities, it used regression equations which obtained from the calculation sempel data that has been taken. Regression equation then inserted into the microcontroller as the basis for the control system which is used. In testing the camera stabilizer level of accuracy obtained on the x axis by 98.7%, and the y-axis of 97.3%. Difference between the value of accuracy in the sensor and camera stabilizer because there is a gap between servo with stabilizer plates.

keywords: camera stabilizer, control systems, the regression equation.

KATA PENGANTAR

Puji dan syukur dihaturkan kepada Allah swt atas ilmu pengetahuan dan nikmat kesehatan yang diberikan kepada penulis, sehingga skripsi dengan judul “Pengembangan Instrumen Kontrol Stabilizer Posisi Kamera Dalam Dua Derajat Bebas Menggunakan Sensor Percepatan H48C” dapat terselesaikan.

Selesainya penulisan skripsi ini tidak lepas dari bantuan dan dukungan banyak pihak. Oleh karena itu penulis ingin menyampaikan penghargaan dan ucapan terimakasih sebesar - besarnya kepada:

1. Dr.rer.nat Bambang Heru Iswanto, selaku pembimbing akademik, dosen pembimbing, dan ketua jurusan Fisika FMIPA UNJ yang telah memberikan waktu, pengalaman, serta pengetahuannya.
2. Dr.Ir.Abdul Aziz, M.Sc, selaku dosen pembimbing yang telah memberi nasihat.
3. Drs.Muhammad Dahsyat, M.Si, selaku Chief Engineer yang telah memberi motifasi.
4. Bapak dan Ibu dosen fisika yang telah memberikan kuliah selama masa perkuliahan berlangsung.
5. Ibu dan Ayah tercinta, atas kasih sayangnya yang tidak tergantikan dan terbalaskan.
6. Teman-temanku; Arief Budiman S.Si, Imas Fatoni S.Si, Supri, Giri, Erwin, Danang, Pacul, Hanif, Jaya Sengara S.Si, Priyo Hartono S.Si, Azis, Supardi, dll untuk sebuah persahabatan dan pengalaman hebat dalam hidup.
7. Teman – teman di PTIPK-BPPT, Ka Yomi, Ka Amanta, Ka Teguh, Ka Hafit, Ka Irfan, Ka Endar, Ka Heri, dan lain-lain. Atas semangat dan kerjasamanya.
8. Teman – teman fisika dan pendidikan fisika angkatan 2003,2004,

2005, 2006, 2007, dan 2008 Untuk Persahabatan dan persaudaraan.

Jakarta, Juni 2011

Aminudin

DAFTAR ISI

ABSTRAK.....	i
ABSTRACT.....	ii
KATA PENGANTAR	iii
DAFTAR ISI.....	v
DAFTAR GAMBAR	vii
DAFTAR TABEL.....	ix
DAFTAR LAMPIRAN	x
BAB I PENDAHULUAN	1
A. Latar Belakang Masalah.....	1
B. Identifikasi Masalah	1
C. Batasan Masalah.....	2
D. Rumusan masalah.....	2
E. Tujuan Penelitian	2
F. Manfaat Penelitian	2
BAB II KAJIAN TEORI.....	4
A. Rotasi Benda Tegar	4
1. Momentum Sudut.....	5
2. Momen Inersia	5
3. Momen Gaya (Torsi).....	6
B. Stabilizer Kamera.....	7
1. Pengertian <i>Stabilizer</i> Kamera	7
2. Prinsip Kerja <i>Stabilizer</i> Kamera	7
B. Pengukuran Sudut Kemiringan.....	9
1. Sensor Percepatan	9
2. Aturan Tangensial	10
C. Metode Regresi	11
1. Hubungan Garis Lurus antara Dua Variabel.....	12

2. Regresi Linier.....	13
3. Korelasi	15
D. Sistem Kontrol	16
1. Sistem Kontrol Terbuka	17
2. Sistem Kontrol Tertutup	17
E. Servo Motor	18
F. Pesawat Udara Nir Awak (PUNA)	19
G. Akuisisi Data.....	21
1. Sumber	21
2. Perangkat Keras	23
2.2. USB ISP (In System Programming) dan Serial TTL (Transistor-.....	23
3. Perangkat Lunak.....	24
BAB III METODOLOGI PENELITIAN	25
A. Tujuan Operasional	25
B. Waktu Dan Tempat Penelitian.....	25
C. Metode Penelitian.....	25
D. Prosedur Penelitian.....	26
E. Alat dan Bahan Penelitian	26
F. Cara Kerja	27
BAB IV HASIL DAN PEMBAHASAN	28
A. Pengembangan Instrumen	28
B. Hasil Pengujian dan Pembahasan	31
BAB V KESIMPULAN DAN SARAN	44
A. Kesimpulan	44
B. Saran	44
DAFTAR PUSTAKA	45
LAMPIRAN.....	46

DAFTAR GAMBAR

Gambar 1. Gerak rotasi	4
Gambar 2. Momen inersia pada batang	6
Gambar 3. Perubahan posisi sudut pada pesawat. [7]	8
Gambar 4. Skema alat <i>stabilizer</i> kamera.....	8
Gambar 5. Prinsip kerja sensor percepatan. [9]	9
Gambar 6. Reputasi vektor 3D	10
Gambar 7. Grafik linier	13
Gambar 8. Skema sistem control.....	16
Gambar 9. Skema sistem kontrol terbuka.....	17
Gambar 10. Skema sistem kontrol tertutup	17
Gambar 11. Modulasi lebar pulsa servo [11].....	19
Gambar 12. (a) Sriti, (b) Pelatuk, (c) Wulung [12].....	20
Gambar 13. H48C Parallax [13].....	22
Gambar 14. Alur penelitian.....	26
Gambar 15. Skema <i>stabilizer</i> kamera.....	28
Gambar 16. <i>Stabilizer</i> kamera (a) tampak samping, (b) tampak depan.	29
Gambar 17. (a) alat sudut gangguan, (b) pengujian sumbu y,	30
Gambar 18. Skema gaya pada sumbu x.....	30
Gambar 19 .Sketsa gaya pada sembu x	31
Gambar 20. Grafik perbandingan sudut terhadap tegangan dan hasil regresi pada potensiometer menggunakan metode regresi. (a) sumbu x, (b) sumbu y, (c) sudut gangguan.	33
Gambar 21. Hasil pengujian tingkat akurasi sensor H48C dalam mendetaksi kemiringan pada sumbu x. Saat kemiringan (a) -60° , (b) -30° , (c) 0° , (d) 30° , (e) 60°	35
Gambar 22. Hasil pengujian tingkat akurasi sensor H48C dalam mendetaksi kemiringan pada sumbu y. Saat kemiringan (a) -60° , (b) -30° , (c) 0° , (d) 30° , (e) 60°	36
Gambar 23. Hasil pengujian respon sensor percepatan H48C dalam mendeteksi kemiringan dengan diberikan perubahan sudut. (a) grafik sensor-gangguan pada sumbu x, (b) kecepatan sudut gangguan pada pengujian sumbu x, (c) grafik sensor-gangguan pada sumbu y, (d) kecepatan sudut gangguan pada pengujian sumbu y.....	38
Gambar 24. Hasil persamaan kontrol sinyal servo terhadap sudut menggunakan metode regresi. pada (a) sumbu x, (b) sumbu y.	39
Gambar 25. Sumbu kemiringan pada <i>stabilizer</i> kamera	40
Gambar 26. Hasil pengujian tingkat akurasi <i>stabilizer</i> kamera pada sumbu x, ketika (a) 0° , (b) -20° , (c) -40° , (d) -60° , (e) 20° , (f) 40° , (g) 60°	41
Gambar 27. Hasil pengujian tingkat akurasi <i>stabilizer</i> kamera pada sumbu y, ketika (a) 0° , (b) -20° , (c) -40° , (d) -60° , (e) 20° , (f) 40° , (g) 60°	42
Gambar 28. Hasil pengujian respon <i>stabilizer</i> kamera, (a) grafik <i>stabilizer</i> kamera-gangguan pada sumbu x, (b) kecepatan sudut gangguan pada pengujian	

sumbu x. (c) grafik *stabilizer* kamera-gangguan pada sumbu y, (d) kecepatan sudut gangguan pada pengujian sumbu x.....44

DAFTAR TABEL

Tabel 1. Kesalahan rata-rata pengukuran tingkat akurasi <i>stabilizer</i> kamera.	43
Tabel 2. Kesalahan rata-rata pengukuran tingkat akurasi <i>stabilizer</i> kamera.....	41

DAFTAR LAMPIRAN

Lampiran 1. Gambar Alat	46
Lampiran 2. Akurasi sensor	47
Lampiran 3. Respon sensor	49
Lampiran 4. Regresi Potensiometer dan Sinyal Servo	57
Lampiran 5. Akurasi <i>Stabilizer Kamera</i>	59

BAB I

PENDAHULUAN

A. Latar Belakang Masalah

Stabilizer kamera adalah sebuah alat yang akan menghasilkan keadaan tetap atau konstan pada kamera ketika mengalami gangguan dari luar. *Stabilizer* kamera ini harus bisa menyesuaikan segala perubahan dengan respon dan tingkat akurasi yang baik, agar keadaan yang diinginkan atau ditetapkan akan tercapai.

Pada *stabilizer* kamera ini terdapat nilai masukan, nilai keluaran, dan sistem kontrol. Nilai masukan ini berupa besaran sudut dari sensor yang berfungsi sebagai pendekripsi perubahan kemiringan, nilai keluaran berupa sinyal trigger untuk menggerakan servo motor yang berfungsi sebagai penggerak kamera, dan sistem kontrol sebagai penghubung antara nilai masukan dengan nilai keluaran. *Stabilizer* kamera yang baik harus dapat merespon perubahan kemiringan dengan cepat dan akurat, sehingga perubahan kemiringan tersebut tidak mengganggu posisi kamera (tegak lurus permukaan bumi).

Terdapat perbedaan besaran antara nilai masukan dan nilai keluaran, yaitu besaran sudut (sensor) dan besaran waktu (servo). Untuk mengetahui hubungan antara kedua besaran tersebut, digunakan persamaan regresi. Persamaan regresi ini didapat dengan mengambil sempel data, kemudian dilakukan perhitungan untuk mendapatkan persamaan tersebut. Dengan adanya regresi tersebut diharapkan dapat menciptakan sistem *stabilizer* kamera yang cepat dan akurat.

B. Identifikasi Masalah

Berdasarkan latar belakang masalah di atas, dapat diidentifikasi beberapa permasalahan, diantaranya :

1. Bagaimana mengembangkan instrument untuk *stabilizer* kamera ?
2. Bagaimana merancang perangkat *stabilizer* kamera dengan menggunakan sensor percepatan dan servo motor ?
3. Bagaimana pengaruh persamaan kontrol dari terhadap *stabilizer* kamera ?
4. Bagaimana keakuratan, overshoot/undershot, dan respon *stabilizer* kamera menggunakan persamaan kontrol dari metode regresi ?

C. Batasan Masalah

Agar penelitian tugas akhir ini terarah, maka dilakukan pembatasan masalah sebagai berikut :

1. *Stabilizer* dengan dua derajat bebas.
2. Nilai input yang diberikan berasal dari sensor percepatan H48C.
3. Menggunakan metode regresi.
4. Menggunakan servo jenis GWS 180° yang memiliki fungsi posisi.

D. Rumusan masalah

Permasalahan pada penelitian ini dirumuskan sebagai berikut : “Bagaimana mengembangkan instrumen, tingkat respon, dan akurasi pada *stabilizer* kamera dengan dua derajat bebas menggunakan sensor percepatan H48C ?”.

E. Tujuan Penelitian

Tujuan penelitian ini adalah mengembangkan instrumen *stabilizer* kamera dengan dua derajat bebas menggunakan sensor percepatan H48C.

F. Manfaat Penelitian

Manfaat penelitian ini adalah :

1. Mempersiapkan perangkat instrumen *stabilizer* kamera pada PUNA.

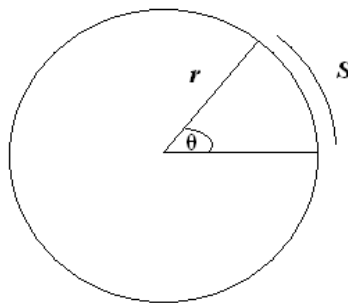
-
2. Mengetahui tingkat respon dan akurasi *stabilizer* kamera dengan dua derajat bebas menggunakan sensor percepatan H48C.

BAB II

KAJIAN TEORI

A. Rotasi Benda Tegar

Benda tegar adalah sistem partikel dimana jarak antara partikel satu dengan partikel lainnya dianggap tetap. oleh karena itu, jika suatu benda berotasi pada suatu sumbu, maka jarak antara partikel-partikelnnya tetap. Terdapat hubungan antara besaran-besaran dalam gerak linier dengan gerak rotasi, baik itu dalam posisi, kecepatan, dan percepatan. Besaran-besaran dalam gerak rotasi, yaitu perubahan sudut (θ), kecepatan sudut (ω), dan percepatan sudut (α).



Gambar 1. Gerak rotasi

Besar jarak yang ditempuh dalam selang waktu Δt yang berhubungan antar S (jarak) dengan θ (dalam radian) adalah $S = r \theta$.

$$\frac{dS}{dt} = r \frac{d\theta}{dt} \quad (1.1)$$

Besar kecepatan sudut adalah besarnya perubahan sudut dibagi dengan waktu, dan arah dari kecepatan sudut yaitu arah putar tangan kanan yang tegak lurus bidang putar.

$$\omega = \frac{d\theta}{dt} \quad (1.2)$$

$$v = \omega \times r \quad (1.3)$$

Percepatan sudut adalah perubahan kecepatan terhadap waktu

$$\alpha = \frac{d\omega}{dt} \quad (1.4)$$

Hubungan antara percepatan linier dan percepatan sudut diberikan oleh

$$\frac{dv}{dt} = r \frac{d\omega}{dt} = r\alpha \quad (1.5)$$

Dengan arah α diberikan oleh arah perubahan ω secara vektor

$$\alpha = \omega \times r \quad (1.6)$$

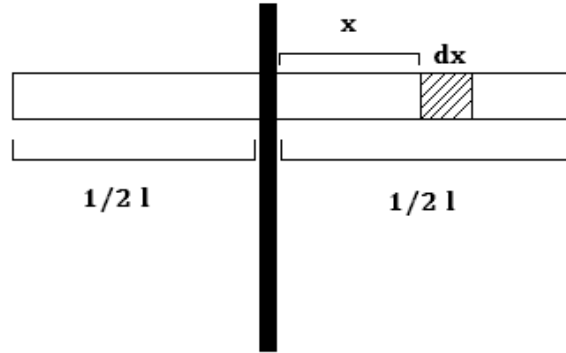
1. Momentum Sudut

Momentum sudut merupakan besaran yang berhubungan dengan kecepatan (v) dan massa (m) pada suatu benda. Momentum bisa dikatakan sebagai ukuran untuk menghentikan suatu benda yang bergerak. Jadi, momentum sudut (l) merupakan suatu partikel yang memiliki besar momentum (P) dan berada pada posisi (r) dari suatu referensi titik O.

$$l = r \times P \quad (1.7)$$

2. Momen Inersia

Momen inersi adalah ukuran kelembaman suatu benda untuk berotasi. Momen inersia berarti besaran yang nilainya tetap pada suatu gerak rotasi. Besaran ini analog dengan massa pada gerak translasi atau lurus.



Gambar 2. Momen inersia pada batang

Dimana :

$$m = \lambda l ; \quad dm = \lambda dm$$

Sehingga momen inersia pada batang tersebut adalah

$$I = \frac{\frac{1}{2}l}{\frac{1}{2}l} r^2 dm = \frac{\frac{1}{2}l}{\frac{1}{2}l} x^2 dm \quad (1.8)$$

$$I = \frac{1}{12} \lambda l^3 \quad (1.9)$$

3. Momen Gaya (Torsi)

Torsi adalah tenaga untuk menggerakkan, menarik, atau menjalankan sesuatu (pulling power). Satuan untuk torsi di internasional adalah feet/lbs, feet-pounds, atau Newtonmeter (Nm). Torsi dihasilkan dari jarak dan kekuatan. Untuk menghitung torsi, kalikan gaya dengan jarak.

$$\tau = F \cdot d \quad (2.0)$$

Dimana :

$$\tau = \text{Torsi (Nm)}$$

$$F = \text{Gaya (N)}$$

$$d = \text{Jarak (m)}$$

B. Stabilizer Kamera

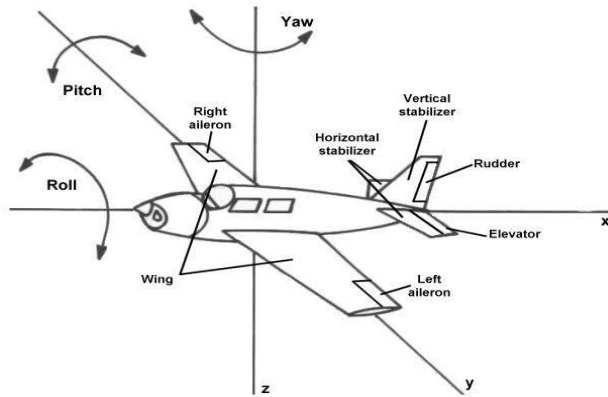
1. Pengertian *Stabilizer* Kamera

Stabilizer kamera adalah sebuah sistem atau alat yang akan menghasilkan keadaan tetap atau konstan pada kamera ketika mengalami gangguan dari luar. *Stabilizer* ini harus bisa menyesuaikan segala perubahan dengan respon yang baik dan akurat, agar keadaan yang diinginkan atau ditetapkan akan tercapai.

Dalam sistem *stabilizer* kamera ini terdapat parameter input, parameter output dan sistem kontrol. Parameter input ini berupa sensor yang berfungsi sebagai pendekripsi perubahan keadaan kamera, parameter output berupa penggerak kamera, dan sistem kontrol berupa software untuk menghasilkan persamaan hubungan antara nilai output dan nilai input dengan menggunakan metode regresi. Persamaan kontrol tersebut dimasukan kedalam mikrokontroler untuk menghasilkan sinyal keluaran. Mikrokontroler ini berfungsi sebagai pusat pengendali dari *stabilizer* kamera, karena data-data diolah di dalam mikrokontroler tersebut.

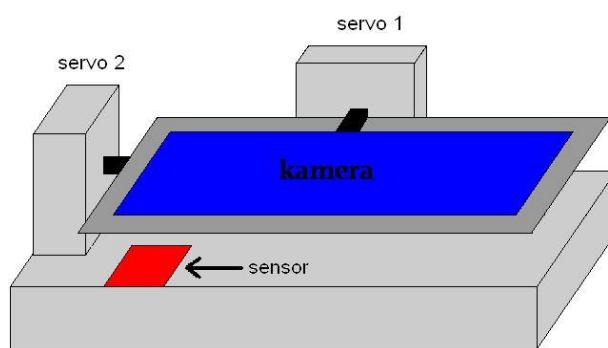
2. Prinsip Kerja *Stabilizer* Kamera

Terdapat 3 jenis gerakan dalam parameter *attitude* pesawat terbang, yaitu sumbu y (*pitch*), sumbu x (*roll*), dan sumbu z (*yaw*). Agar kamera dapat mengarah kebawah, hanya sumbu x dan sumbu y yang dijadikan sebagai input pada *stabilizer* kamera.



Gambar 3. Perubahan posisi sudut pada pesawat. [7]

Pada *stabilizer kamera* dipasang sensor percepatan tiga dimensi dan servo motor sebagai penggerak kamera. Untuk mendapatkan besaran sudut dari besaran percepatan yang terbaca, maka digunakan aturan tangensial. Setelah mendapatkan besaran kemiringan, kita tetapkan keadaan yang diinginkan pada kamera yaitu tegak lurus terhadap permukaan bumi. Jika kamera mengalami perubahan posisi sebesar 30 derajat terhadap sumbu x, maka servo motor harus menggeser kamera -30 derajat terhadap sumbu x. Hal ini berlaku juga terhadap sumbu y. Untuk menyesuaikan nilai input dan nilai output, diperlukan persamaan kontrol. Persamaan kontrol ini didapat dengan menggunakan regresi, yaitu dengan mengambil data output terhadap terhadap input yang kita berikan. Setelah mendapatkan persamaan, maka persamaan tersebut dimasukan kedalam chip mikrokontroler. Mikrokontroler ini berfungsi untuk menghasilkan nilai output (servo) dari nilai input (sensor) yang terbaca.

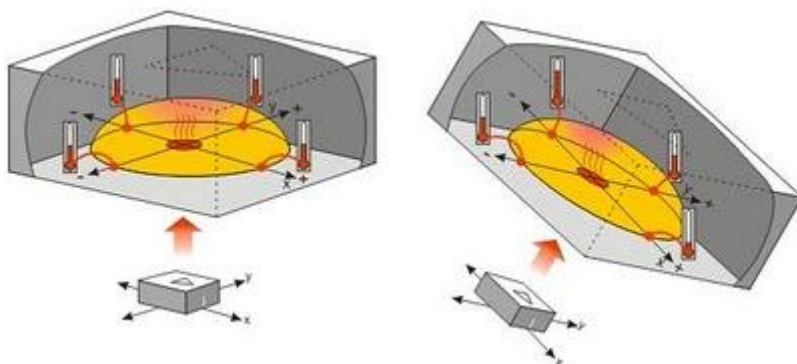


Gambar 4. Skema alat *stabilizer kamera*.

B. Pengukuran Sudut Kemiringan

1. Sensor Percepatan

Sensor percepatan adalah alat yang digunakan untuk mengukur percepatan, mengukur getaran (vibrasi), dan mengukur percepatan akibat gravitasi (inklinasi). Sensor percepatan juga dapat diaplikasikan pada pengukuran aktivitas gempa bumi, dan peralatan-peralatan elektronik, seperti permainan tiga dimensi, dan mouse komputer. Untuk aplikasi yang lebih lanjut, sensor ini banyak digunakan untuk keperluan navigasi. Percepatan gravitasi yang dideteksi oleh sensor ini bisa dimanfaatkan sebagai informasi sudut orientasi benda.



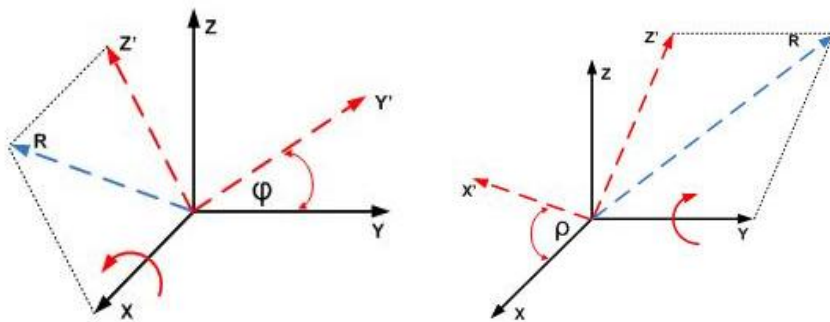
Gambar 5. Prinsip kerja sensor percepatan. [9]

Sensor ini berjenis MEMS (Microelectromechanic System). Prinsip-prinsip teknologi MEMS didasarkan pada sifat mekanik silicon untuk menciptakan struktur bergerak. Dikombinasikan dengan mikroelektronik, sinyal yang dihasilkan oleh struktur bergerak memberikan sinyal keluaran untuk sensor.

Prinsip kerja sensor ini secara fisika adalah apabila suatu konduktor digerakkan melalui suatu medan magnet, atau sebaliknya, maka akan timbul suatu tegangan induksi pada konduktor. Terdapat pemanas pada setiap ujung-ujung elemen, panas tersebut akan merambat ke lempengan sensor yang bersifat seperti *thermocoupler*, sehingga jika dimiringkan akan terjadi perubahan distribusi panas pada lempengan dan akan menghasilkan perubahan tegangan.

2. Aturan Tangensial

Aturan Tangensial merupakan salah satu aturan yang ada di teori trigonometri. Dalam kaitannya dengan pengukuran sudut kemiringan, aturan ini digunakan untuk mengetahui sudut kemiringan dari data percepatan. Dalam hal ini sudut kemiringan dibagi menjadi 2 yaitu pitch (ρ) diartikan sebagai sudut antara axis X relatif terhadap *ground*, sedangkan roll (φ) diartikan sebagai sudut antara axis Y relatif terhadap *ground*.



Gambar 6. Reputasi vektor 3D

Pada saat perputaran terhadap sumbu X, R senilai dengan $\sqrt{A_y^2 + A_z^2}$, dan begitu sebaliknya pada saat perputaran terhadap sumbu Y. Sehingga diperoleh formula ρ dan φ . Perhitungan sudut kemiringan sesuai dasar teori memanfaatkan Aturan Tangensial.

$$\rho = \tan^{-1} \frac{A_x}{\sqrt{A_y^2 + A_z^2}} \quad (2.1)$$

$$\varphi = \tan^{-1} \frac{A_y}{\sqrt{A_x^2 + A_z^2}} \quad (2.2)$$

dimana,

ρ = Pitch (sudut antara axis X relatif terhadap *ground*)

φ = Roll (sudut antara axis Y relatif terhadap *ground*)

$A_{x,y,z}$ = Percepatan gravitasi axis X,Y,Z vektor satuan

Percepatan gravitasi disimbolkan dengan a_x a_y a_z , sehingga nilai percepatan gravitasi vektor satuan dapat dihitung dengan formula sebagai berikut.

$$R = \sqrt{a_x^2 + a_y^2 + a_z^2} \quad (2.3)$$

$$A_x = \frac{a_x}{R} \quad (2.4)$$

$$A_y = \frac{a_y}{R} \quad (2.5)$$

$$A_z = \frac{a_z}{R} \quad (2.6)$$

dimana,

R = Resultan percepatan gravitasi.

$a_{x,y,z}$ = Percepatan gravitasi axis X,Y,Z terukur.

$A_{x,y,z}$ = Percepatan gravitasi axis X,Y,Z vektor satuan.

C. Metode Regresi

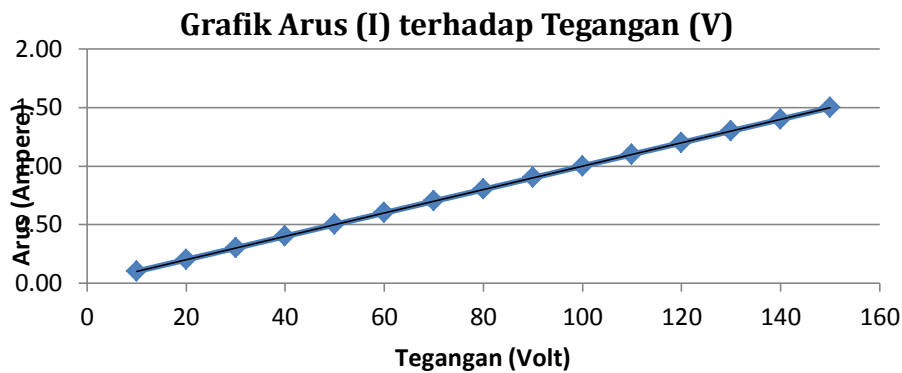
Didalam dunia industri sekarang ini, tidak pernah dikenal lagi apa yang disebut kekurangan informasi. Seberapa kecil suatu proses, terdapat begitu banyak alat pengukur. Alat-alat pengukur tersebut memberikan kita informasi seperti suhu, kelembaban, kemiringan, percepatan, dan lain-lain. Mungkin data yang kita ambil merupakan fungsi waktu yang semakin lama akan berubah atau bahkan tetap, dengan data-data tersebut maka kita akan mengetahui sifat dari sistem yang kita amati. Bukan hanya mengetahui sifat, kita bahkan bisa memprediksi apa yang akan terjadi pada sistem yang kita amati. Melalui analisis dan perhitungan, kita akan mendapatkan sebuah kesimpulan dan hubungan antara input dan output. Setiap sistem, pasti terdapat variabel bebas dan variabel tak bebas. Variabel bebas adalah variabel yang bisa kita atur atau kita tetapkan, sedangkan variabel tak

bebas adalah variabel yang nilainya tergantung atau dipengaruhi oleh variabel bebas. Pada kasus-kasus tertentu, kita harus mengetahui hubungan antara variabel bebas dan variabel tak bebas untuk mengendalikan sistem yang kita amati, seperti mengontrol suhu ruangan, kontrol kelembaban, intensitas, dan lain-lain.

Metode regresi adalah metode untuk mencari persamaan matematik yang menghubungkan antara variabel bebas terhadap variabel tak bebas. Metode ini digagas oleh Sir Francis Galton. Ia merupakan seorang antropologi dan meteorologi terkenal dari Inggris. Galton memaparkan penemuannya bahwa setiap keturunan tidak cenderung menyerupai induknya dalam hal ukuran, namun selalu mendekati rata-rata (bisa lebih kecil atau lebih besar dari pada induknya). Oleh karena itu, hubungan antara variabel bebas dan variabel tak bebas adalah bukanlah nilai pasti, akan tetapi nilai yang mendekati rata-rata.

1. Hubungan Garis Lurus antara Dua Variabel

Dalam banyak penelitian, kita ingin sering menyelidiki bagaimana perubahan-perubahan pada suatu variabel mempengaruhi variabel lainnya. Adakalanya dua variabel dihubungkan oleh garis lurus. Sebagai contoh, jika hambatan (R) suatu rangkaian kita buat tetap atau konstan, maka besar arus (I) akan mengikuti besarnya tegangan (V), sebab menurut hukum Ohm $I=V/R$. Dengan persamaan tersebut ($R=\text{konstan}$), maka kita akan mengetahui besar perubahan I dengan mengubah besarnya V . Dalam hal ini V merupakan variabel bebas dan I merupakan variabel tak bebas. Berikut data dan grafik arus terhadap tegangan dengan $R=100$ Ohm.



Gambar 7. Grafik linier

Dari grafik di atas, terlihat bahwa hubungan antara V dan I adalah linier. Hal ini juga terlihat dari persamaan $I=V/R$ dengan R sama dengan konstan. Dengan demikian, jika kita mengubah nilai tegangan (V), maka arus (I) akan berubah.

Hal ini dapat kita manfaatkan dalam mengatur arus sebuah rangkaian dengan mengubah 1 variabel, yaitu tegangan (V). Dalam dunia digital, akan lebih mudah jika kita mengatur atau membaca perubahan tegangan dari pada merubah atau membaca besar hambatan (Ohm).

2. Regresi Linier

Suatu hubungan garis linier sangat berguna untuk mengetahui hubungan antara variabel bebas dan variabel tak bebas. Dengan mengetahui hubungan tersebut, kita dapat mengatur nilai output dengan member nilai input. Proses pencarian persamaan menggunakan metode regresi.

Sebelum mendapatkan persamaan regresi, kita harus memprediksi dengan memodelkan persamaan tersebut. Kita anggap model persamaannya sebagai berikut.

$$Y_i = B_0 + B_1 X_i + e \quad (2.7)$$

Dimana :

Y_i = variable tak bebas

X_i = variable bebas

B_0 = konstanta

B_1 = gradien

e = error

Kita asumsikan model persamaan ini adalah benar, namun nanti kita akan selidiki kebenaran dari model persamaan tersebut. Misalkan kita memiliki n data, maka jumlah semua simpangan dari garis tersebut adalah

$$S = f(B_0, B_1) = \sum_{i=1}^n e_i^2 = \sum_{i=1}^n Y_i - B_0 - B_1 X_i^2 \quad (2.8)$$

Untuk mencari nilai B_0 dan B_1 , maka persamaan di atas kita turunkan dengan B_0 dan B_1 , kemudian jumlah dari masing-masing turunan sama dengan nol.

$$\frac{\partial S}{\partial B_0} = -2 \sum_{i=1}^n Y_i - B_0 - B_1 X_i = 0 \quad (2.9)$$

$$nB_0 = \sum_{i=1}^n Y_i - B_1 \sum_{i=1}^n X_i \quad (3.0)$$

$$\frac{\partial S}{\partial B_1} = -2 \sum_{i=1}^n X_i Y_i - B_0 - B_1 X_i = 0 \quad (3.1)$$

$$B_1 \sum_{i=1}^n X_i^2 = \sum_{i=1}^n X_i Y_i - B_0 \sum_{i=1}^n X_i \quad (3.2)$$

Dengan mensubtitusikan persamaan (1) dan (2), maka didapat

$$B_1 = \frac{n \sum_{i=1}^n X_i Y_i - \sum_{i=1}^n X_i \sum_{i=1}^n Y_i}{n \sum_{i=1}^n X_i^2 - \sum_{i=1}^n X_i^2} \quad (3.3)$$

$$B_0 = \frac{1}{n} \sum_{i=1}^n Y_i - B_1 \sum_{i=1}^n X_i \quad (3.4)$$

Setelah mendapatkan persamaan tersebut, kita akan melihat bahwa tidak semua titik akan masuk kedalam persamaan regresi, karena persamaan ini bersifat

pendekatan dari suatu nilai. Persamaan ini harus kita uji dengan menggunakan korelasi, untuk mengetahui seberapa besar keterkaitan antara variabel bebas dan variabel tak bebas dengan menggunakan persamaan regresi yang telah kita dapatkan.

3. Korelasi

Sepanjang sejarah umat manusia, orang melakukan penelitian mengenai ada dan tidaknya hubungan antara dua hal, fenomena, kejadian atau lainnya. Usaha-usaha untuk mengukur hubungan ini dikenal sebagai mengukur asosiasi antara dua fenomena atau kejadian.

Korelasi merupakan teknik analisis yang termasuk dalam salah satu teknik pengukuran asosiasi / hubungan (*measures of association*). Pengukuran asosiasi merupakan istilah umum yang mengacu pada sekelompok teknik dalam statistik bivariat yang digunakan untuk mengukur kekuatan hubungan antara dua variabel. Pengukuran asosiasi menggunakan nilai numerik untuk mengetahui tingkatan asosiasi atau kekuatan hubungan antara variabel. Dua variabel dikatakan berasosiasi jika perilaku variabel yang satu mempengaruhi variabel yang lain. Jika tidak terjadi pengaruh, maka kedua variabel tersebut disebut independen.

$$r = \frac{n \sum_{i=1}^n X_i Y_i - \sum_{i=1}^n X_i \sum_{i=1}^n Y_i}{\sqrt{n \sum_{i=1}^n X_i^2 - (\sum_{i=1}^n X_i)^2} \sqrt{n \sum_{i=1}^n Y_i^2 - (\sum_{i=1}^n Y_i)^2}} \quad (3.5)$$

Kekuatan hubungan korelasi antara nol (0) sampai dengan satu (1). Korelasi mempunyai kemungkinan pengujian hipotesis dua arah (*two tailed*). Korelasi searah jika nilai koefesien korelasi diketemukan positif, sebaliknya jika nilai koefesien korelasi negatif, korelasi disebut tidak searah. Koefesien korelasi ialah suatu pengukuran statistik kovariasi atau asosiasi antara dua variabel. Jika koefesien korelasi diketemukan tidak sama dengan nol, maka terdapat ketergantungan antara dua variabel tersebut.

Jika koefesien korelasi diketemukan +1, maka hubungan tersebut disebut sebagai korelasi sempurna atau hubungan linear sempurna dengan kemiringan (slope) positif, dan jika koefesien korelasi diketemukan -1, maka hubungan tersebut disebut sebagai korelasi sempurna atau hubungan linear sempurna dengan kemiringan (slope) negatif.

Dalam korelasi sempurna tidak diperlukan lagi pengujian hipotesis, karena kedua variabel mempunyai hubungan linear yang sempurna. Artinya variabel bebas (x) mempengaruhi variabel tak bebas (y) secara sempurna. Jika korelasi sama dengan nol, maka tidak terdapat hubungan antara kedua variabel tersebut.

D. Sistem Kontrol

Sistem kontrol adalah suatu sistem yang bertujuan untuk mengendalikan suatu proses agar output yang dihasilkan dapat dikontrol sehingga tidak terjadi kesalahan. Dalam hal ini output yang dikendalikan adalah kestabilan, keakurasiannya, kecepatan respon, sensitivitas, dan kedinamisan. Suatu sistem kontrol yang baik harus mempunyai ketahanan terhadap disturbance, dan mempunyai respon yang cepat dan akurat.

Secara umum terdapat empat komponen dalam sistem kontrol, yaitu input, output, sistem, dan proses. Input merupakan masukan yang diberikan kepada sistem kontrol. Sistem sendiri adalah sistem kontrol yang didalamnya terdapat proses pengendalian dan hasil dari input yang diberikan akan menghasilkan output atau keluaran.



Gambar 8. Skema sistem control.

Sistem kontrol ini terdapat 2 jenis, yaitu sistem kontrol terbuka (*open loop control system*) dan sistem kontrol tertutup (*closed loop feedback control system*).

1. Sistem Kontrol Terbuka

Sistem kontrol terbuka adalah suatu sistem pengontrol objek yang nilai keluarannya tidak diperhitungkan lagi ke dalam sistem. Tujuan dari sistem ini ialah memperoleh respon yang baik, akan tetapi ketelitian terhadap target akan berkurang.

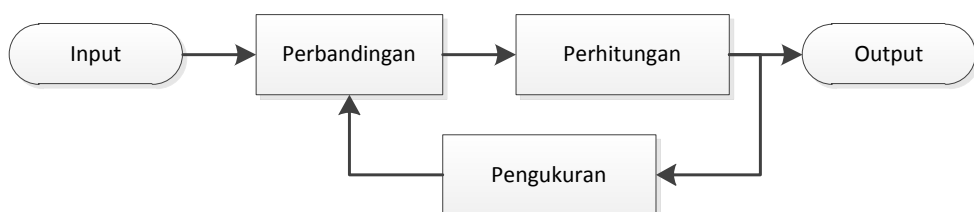


Gambar 9. Skema sistem kontrol terbuka

Dalam suatu sistem kontrol terbuka, nilai output tidak dapat dibandingkan dengan nilai input. Jadi, untuk setiap nilai input harus berhubungan dengan operasi tertentu, sebagai akibat ketetapan dari sistem tergantung kalibrasi. Sistem kontrol ini dapat digunakan jika hubungan antara masukan dan keluaran diketahui, dan tidak terdapat kerusakan pada sistem.

2. Sistem Kontrol Tertutup

Sistem kontrol tertutup adalah suatu sistem pengontrol objek yang nilai keluarannya diperhitungkan kembali oleh sistem (feedback). Tujuan dari sistem ini ialah memperoleh ketelitian agar objek tepat mencapai target, akan tetapi kecepatan objek mencapai target akan berkurang karena nilai keluarannya akan dikembalikan lagi ke sistem dan sistem akan melakukan perhitungan kembali (terjadi osilasi).



Gambar 10. Skema sistem kontrol tertutup

Sistem kontrol ini dapat dipakai tanpa harus mencari persamaan atau hubungan antara nilai input dan nilai output. Sistem ini bekerja terhadap nilai

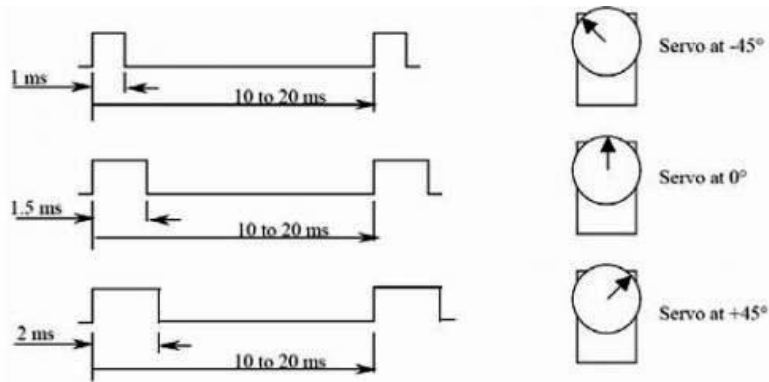
error yang dihasilkan, semakin besar error maka semakin besar pula sinyal yang dikeluarkan, dan akan terus melakukan proses sampai nilai error yang dihasilkan mendekati nol. Nilai error adalah selisih antara nilai input yang diberikan terhadap hasil dari nilai output.

E. Servo Motor

Motor servo adalah motor yang mampu bekerja dua arah (CW dan CCW) dimana arah dan sudut pergerakan rotornya dapat dikendalikan hanya dengan memberikan pengaturan *duty cycle* sinyal PWM pada bagian pin kontrolnya. Motor servo merupakan motor DC yang memiliki rangkaian kontrol elektronik dan *internal gear* untuk mengendalikan pergerakan dan sudut angularnya. Motor servo adalah motor yang berputar lambat, dimana biasanya ditunjukkan oleh rate putarannya yang lambat, namun demikian memiliki torsi yang kuat karena internal gearnnya.

Pulse Width Modulation (PWM) atau modulasi lebar pulsa merupakan suatu teknik modulasi untuk menggerakkan aktuator dengan pembangkitan sinyal dalam rentang periode tertentu. Motor servo akan bekerja secara baik jika pada bagian pin kontrolnya diberikan sinyal PWM dengan frekuensi 50Hz, yang telah ditentukan oleh manufaktur yang telah terstandarisasi di Indonesia. Data tersebut terlampir dalam *datasheet* untuk motor servo. Dimana pada saat sinyal dengan frekuensi 50Hz tersebut dicapai pada kondisi *ton duty cycle* 1.5ms, sehingga rotor dari motor akan berhenti tepat ditengah-tengah (sudut 0° / netral).

Pada saat *ton duty cycle* dari sinyal yang diberikan kurang dari 1.5ms, maka rotor akan berputar kearah kiri dengan membentuk sudut yang besarnya linier terhadap besarnya *ton duty cycle*, dan akan bertahan diposisi tersebut. Dan sebaliknya, jika *ton duty cycle* dari sinyal yang diberikan lebih dari 1.5ms, maka rotor akan berputar kearah kanan dengan membentuk sudut yang linier pula terhadap besarnya *ton duty cycle*, dan bertahan diposisi tersebut.



Gambar 11. Modulasi lebar pulsa servo [11]

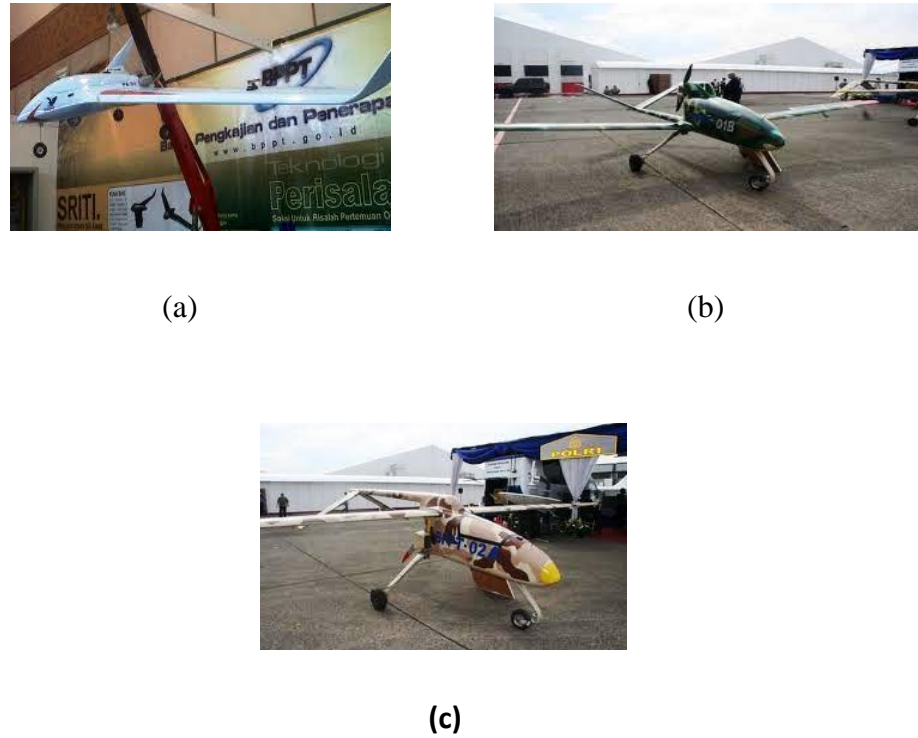
Hal tersebut dikarenakan operasional dari servo motor dikendalikan oleh sebuah pulsa selebar $\pm 20\text{ms}$, dimana lebar pulsa antara 0.5ms dan 2ms menyatakan akhir dari range sudut maksimum.

F. Pesawat Udara Nir Awak (PUNA)

PUNA (Pesawat Udara Nir Awak) adalah pesawat kecil tanpa awak yang memiliki berbagai jenis tipe dan misi. Salah satu fungsi PUNA adalah sebagai pengintai perbatasan, di dalamnya terdapat sensor-sensor, kamera, GPS, dan chip mikrokontroler. Pesawat ini sedang dikembangkan oleh PTIPK (Pusat Teknologi Industri Pertahanan dan Keamanan) - BPPT (Badan Pengkajian dan Penerapan Teknologi).

Indonesia merupakan negara kepulauan yang sangat luas. Namun, wilayah yang luas itu memiliki risiko tersendiri dari segi pengamanannya. Karena sangat luas, TNI harus mengeluarkan biaya yang besar dan juga sumber daya yang banyak untuk tetap menjaga keamanan wilayah kesatuan Negara Republik Indonesia. Berdasarkan latar belakang pengawasan keamanan tersebut, para ahli di BPPT membuat sebuah pesawat tanpa awak yang bertujuan sebagai pendukung pertahanan keamanan nasional dan pengintai teroris. Pesawat ini dibuat untuk mempermudah kerja TNI sekaligus menghemat biaya pengawasan terhadap wilayah Indonesia. Pesawat ini memiliki berbagai jenis, yaitu wulung, alap-alap,

pelatuk, dan sriti. Setiap jenis tersebut disesuaikan dengan misi yang akan dijalani. Berikut foto dari masing-masing pesawat :



Gambar 12. (a) Sriti, (b) Pelatuk, (c) Wulung [12]

Pada sistem akuisisi data, terdapat 2 sistem, yaitu sistem on board dan sistem GCS (*Ground Control Sistem*). Sistem *On Board* adalah sistem yang dipasang pada pesawat, terdiri dari sensor-sensor, kamera, GPS, dan mikroprosesor. Sistem GCS adalah sistem untuk menerima data dan pengendali pesawat, terdiri dari seperangkat modem, komputer, dan RC (*Remote Control*). Mikroposesor yang digunakan pada sistem *On Board* adalah Rabbit Mikrokontroler RCM 4100. Mikrokontroler ini dilengkapi dengan empat komunikasi serial, 16 channel ADC, dan 12 channel PWM. Mikrokontroler ini berfungsi untuk mengolah sinyal-sinyal dari sensor, dan sebagai pengendali dalam sistem *autonomos*. *Autonomos* merupakan sistem yang dapat bekerja dengan sendirinya, didalamnya terdapat sistem kontrol.

G. Akuisisi Data

Akuisisi data merupakan proses sampling dari kondisi besaran fisis dan konversi dari sampel yang dihasilkan menjadi data digital yang dapat dimanipulasi oleh komputer. Sistem akuisisi data biasanya melibatkan konversi bentuk gelombang analog menjadi data digital untuk diproses.

1. Sumber

Perolehan data dimulai dengan mengukur besaran fisis, dalam penelitian ini adalah kemiringan atau besaran sudut. Memanfaatkan sensor percepatan sebagai pendekripsi percepatan 3D, kemudian diubah menjadi besaran sudut atau kemiringan. Oleh karena itu, dibutuhkan suatu perhitungan yang mengubah besaran percepatan menjadi besaran sudut. Dalam hal ini adalah aturan tangensial.

Potensiometer digunakan untuk mengetahui sudut yang dibentuk oleh *stabilizer* kamera. Besar tengangan yang dihasilkan oleh potensiometer ini di ubah menjadi besaran sudut dengan melakukan proses kalibrasi.

1.1. Percepatan

Percepatan adalah alat untuk mengukur percepatan suatu benda. Sensor yang digunakan adalah H48C yang mempunyai nilai keluaran digital berupa data tegangan. Secara matematis dirumuskan sebagai berikut.

$$A_{axis} = \frac{V_{axis} - V_{ref}}{Bit} \times G_{ref}$$

Dimana :

Axis = percepatan (G)

V_{axis} = tegangan pada axis (mV)

V_{Ref} = tegangan referensi untuk 1 G (mV)

Bit = resolusi ADC 12 bit (4095 bit)

Ref = 0.0022 (G/mV)

1.2. H48C Parallax

H48C Parallax adalah modul sensor pengukur percepatan. Dengan ukurannya yang relatif kecil, sensor ini dapat mengukur percepatan hingga 3G. Dengan menggunakan aturan tangensial, maka sensor ini bisa dijadikan pendekripsi kemiringan dalam keadaan statis.



Gambar 13. H48C Parallax [13]

1.2. Potensiometer

Potensiometer ini berfungsi untuk mendekripsi perubahan sudut pada *stabilizer* kamera. Prinsip kerja dari potensiometer ini adalah pembagi tegangan, sehingga setiap putaran akan menghasilkan perubahan tegangan. Perubahan tegangan ini dibaca oleh mikrokontroler, kemudian hasil dari tegangan akan diubah ke besaran sudut melalui regresi.



Gambar 14. Potensiometer [14]

Persamaan yang dihasilkan melalui regresi akan dimasukan ke dalam mikrokontroler, sehingga data keluaran sudah menjadi besaran sudut. Data ini

akan menjadi salah satu akuisisi data pada *stabilizer* kamera. Dari data tersebut, kita akan mengetahui tingkat respon dan akurasi pada *stabilizer* kamera tersebut.

2. Perangkat Keras

2.1. Mikrokontroler

Mikrokontroler adalah *single chip* komputer yang memiliki kemampuan untuk diprogram dan digunakan untuk tugas-tugas yang berorientasi kontrol. Pada perangkat ini digunakan mikrokontroler jenis AVR yaitu ATmega 8L produksi ATMEL, yang bersifat *low cost* dan *high performance*, dengan fitur yang cukup lengkap, mudah didapat, dan harga yang relatif terjangkau. Mikrokontroler seri ATmega 8538L memiliki karakteristik sebagai berikut :

- 8K bytes *In-System Programmable Flash* dengan kemampuan *Read-While-Write*.
- 512 bytes EEPROM (*Electricaly Erasable Progammable Read Only Memory*).
- 1 Kilo bytes SRAM (*Static Random Acces Memory*).
- 40 saluran I/O.
- 32 saluran register.
- Programmable serial USART (*Universal Synchronous and Asynchronous Receiver and Transmitter*).
- 10-bit ADC (*Analog to Digital Converter*) sebanyak 8 saluran.

2.2. USB ISP (In System Programming) dan Serial TTL (Transistor-Transistor Logic)

Untuk mendownload program ke dalam mikrokontroler dibutuhkan suatu perangkat yang dinamakan *downloader*. K-125i adalah salah satu jenis *downloader* yang sangat simpel dan sudah disertai dengan koneksi USB (*Universal Serial Bus*) yang mempermudah pengguna dalam mendownload *list* program.

K-125i juga disertai dengan serial TTL (*Transistor-Transistor Logic*) dimana ini adalah suatu bentuk jaringan yang dapat menghubungkan logika level tegangan yang dihasilkan dari mikrokontroler ke PC secara langsung.

3. Perangkat Lunak

3.1. Codevision AVR

Codevision memiliki peran untuk membantu menulis program dan membantu dalam mendownload program ke dalam mikrokontroler. Perangkat lunak ini merupakan salah satu perangkat lunak *compiler C* yang khusus digunakan untuk mikrokontroler keluaran AVR Atmel. *Compiler C* melaksanakan semua elemen dari bahasa C ANSI (*American National Standards Institute*), sebagaimana yang diperbolehkan oleh arsitektur AVR, dengan beberapa fitur yang ditambahkan untuk memaksimalkan dari spesifikasi arsitektur AVR dan kebutuhan. Untuk *debugging embedded system*, yang menggunakan komunikasi serial, IDE (*Integrated Development Environment*) memiliki *built-in terminal*.

3.2. Scilab

Scilab adalah bahasa pemrograman tingkat tinggi, sebagian besar kegunaannya didasarkan pada seputar kemampuan menspesifikasi banyak komputasi dengan sedikit baris kode. Scilab melakukan hal ini dengan mengabstraksi tipe data primitif kepada matriks ekuivalen menurut fungsinya.

Scilab memiliki kesamaan fungsionalitas dengan MATLAB, tetapi tersedia untuk diunduh tanpa biaya lisensi. Program ini memungkinkan pengguna untuk melakukan komputasi pada cakupan luas operasi-operasi matematika dari operasi yang relatif sederhana seperti perkalian hingga kepada operasi tingkat tinggi seperti korelasi dan aritmatika kompleks. Perangkat ini sering dipakai untuk pemrosesan sinyal, analisis statistika, perbaikan gambar, simulasi dinamika fluida, dan lain-lain. Pada penelitian ini scilab digunakan sebagai pembantu dalam membuat grafik, sehingga data yang didapat bisa dibaca dengan mudah dan jelas.

BAB III

METODOLOGI PENELITIAN

A. Tujuan Operasional

Tujuan penelitian ini adalah mengembangkan instrumen *stabilizer* kamera dengan dua derajat bebas menggunakan sensor percepatan H48C.

B. Waktu Dan Tempat Penelitian

Penelitian ini akan dilaksanakan pada:

1. Waktu Penelitian

Waktu penelitian dilaksanakan pada bulan Agustus 2010 sampai dengan Februari 2011.

2. Tempat Penelitian

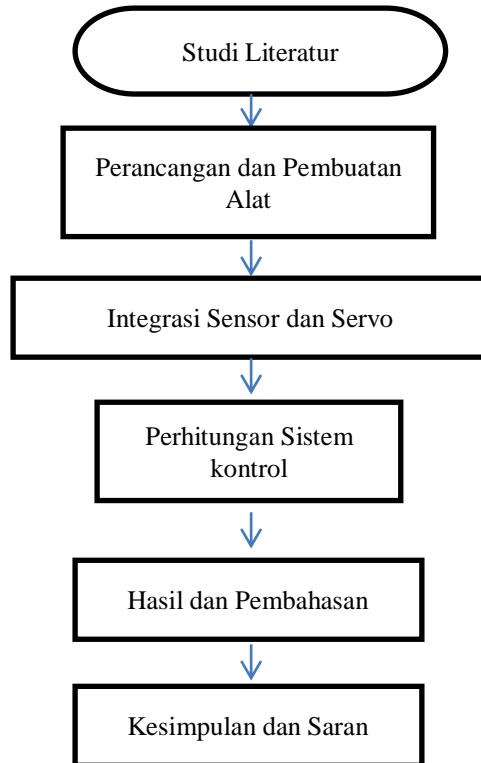
Penelitian ini dilaksanakan di Lab. Instrumentasi PTIPK – BPPT Jakarta.

C. Metode Penelitian

Metode yang digunakan dalam penelitian ini adalah studi literatur dan eksperimen. Studi literatur digunakan untuk memperoleh dasar-dasar teori yang akan digunakan untuk merancang dan membuat disain *stabilizer* kamera menggunakan metode regresi. Secara umum pada tahap studi literature adalah Studi pendahuluan berupa studi pustaka dengan mempelajari tentang sistem *stabilizer* dan parameter-parameter pada PUNA.

Secara umum pada tahap eksperimen terdiri dari: (1) merancang bangun *stabilizer* kamera dengan menggunakan mikrokontroler ATMEGA 8535L, (2) pengintegrasian *stabilizer* kamera dengan persamaan kontrol dari metode regresi, (3) Pengujian dan evaluasi kinerja *stabilizer* kamera.

D. Prosedur Penelitian



Gambar 14. Alur penelitian

E. Alat dan Bahan Penelitian

1. Mikrokontroler ATMEGA 8535L
2. Sensor percepatan H48C
3. Motor Servo
4. Kamera
5. Busur
6. Potensiometer
7. ISP k-125
8. Laptop

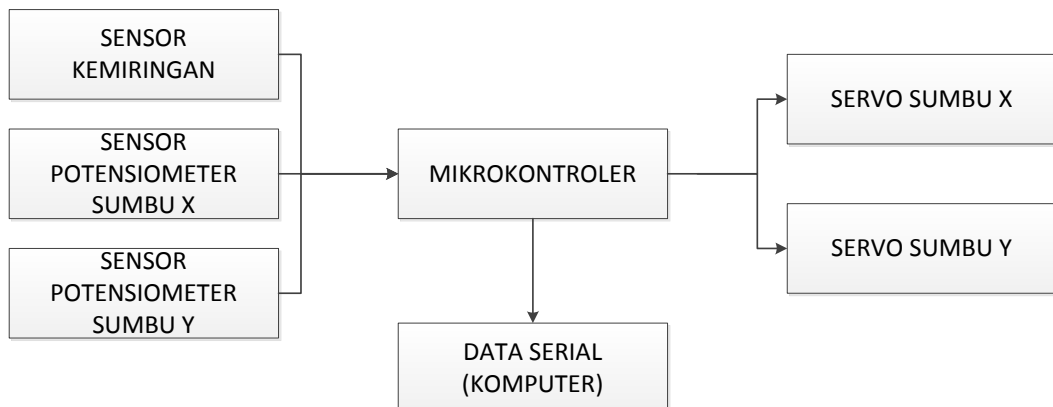
F. Cara Kerja

1. Mendisain perangkat *stabilizer* kamera.
2. Memasangan sensor, potensiometer, kamera dan servo.
3. Aktifasi sensor, potensiometer, kamera dan servo.
4. Melakukan kalibrasi pada potensiometer.
5. Melakukan perhitungan untuk mencari persamaan kontrol *stabilizer* kamera.
6. Melakukan integrasi terhadap sensor dan servo.
7. Menganalisis tingkat akurasi dan respon sensor percepatan H48C.
8. Menganalisis tingkat akurasi dan respon *stabilizer* kamera.

BAB IV

HASIL DAN PEMBAHASAN

A. Pengembangan Instrumen

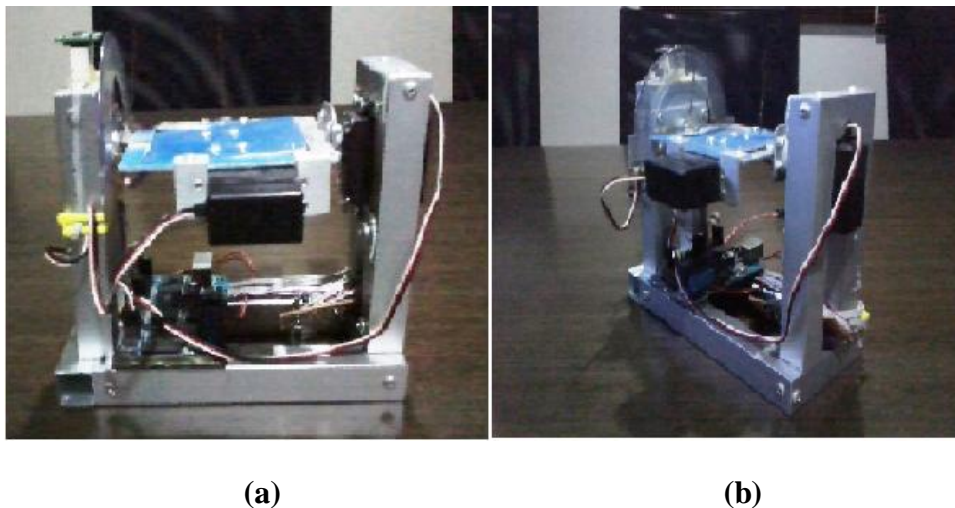


Gambar 15. Skema *stabilizer* kamera

Gambar diatas merupakan skema *stabilizer* kamera yang menunjukan nilai masukan dan nilai keluaran pada mikrokontroler. Sensor kemiringan yang digunakan adalah sensor percepatan H48C, percepatan yang tebaca oleh sensor akan dilakukan perhitungan dengan aturan tangensial sehingga didapat data kemiringan, dan sensor potensiometer yang telah dikalibrasi dengan menggunakan regresi untuk mengetahui data sudut dari data tegangan. Mikrokontroler berfungsi sebagai kontrol *stabilizer* kamera, dan sebagai akuisisi data.

Data yang dikirim ke komputer adalah data kemiringan yang dideteksi oleh sensor, data kemiringan *stabilizer* kamera dan data kemiringan sudut gangguan yang dideteksi oleh sensor potensiometer. Data tersebut akan saling dibandingkan, sehingga akan terlihat tingkat akurasi *stabilizer* kamera. Untuk menguji tingkat respon, dapat diketahui melalui besarnya perubahan sudut dibagi

dengan waktu. Selisih waktu tiap data adalah 50 ms, sehingga besarnya kecepatan sudut dapat diketahui.

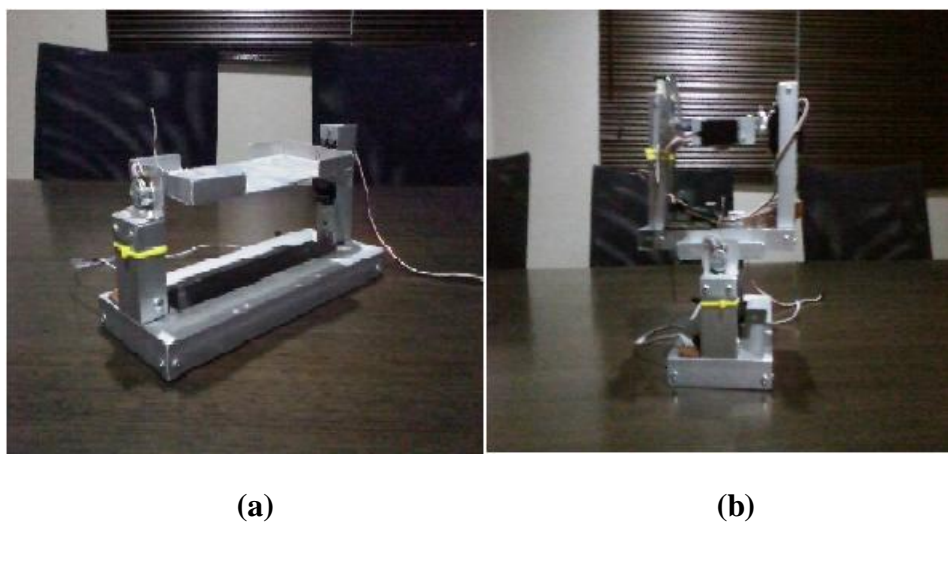


(a)

(b)

Gambar 16. *Stabilizer* kamera
(a) tampak samping, (b) tampak depan.

Untuk menguji tingkat akurasi dan respon, digunakan alat yang berfungsi untuk memberi gangguan (kemiringan) pada sensor dan *stabilizer* kamera. Alat ini dilengkapi dengan servo motor dan potensiometer. Alat ini bisa digunakan untuk menguji sumbu x dan sumbu y. Bentuk alas ini telah disesuaikan dengan *stabilizer* kamera, sehingga pemasangannya dapat sejajar dan tegak lurus antara stabilizer kamera dan alat gangguan sudut.



(a)

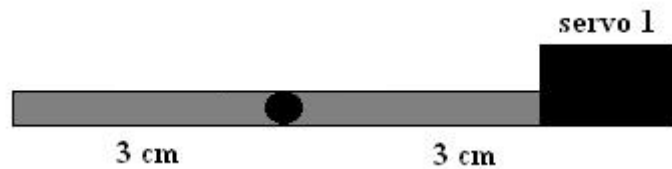
(b)



(c)

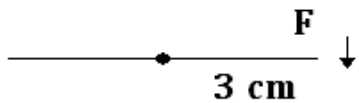
Gambar 17. (a) alat sudut gangguan, (b) pengujian sumbu y,
(c) pengujian sumbu x.

Perhitungan torsi digunakan untuk menentukan jenis servo. Terdapat dua gaya yang bekerja pada *stabilizer* kamera ini, yaitu pada sumbu x dan sumbu y. masing-masing sumbu membutuhkan torsi yang sama, sehingga perlu dilakukan perhitungan pada salah satu sumbu. Berikut perhitungan torsi pada salah satu sumbu :



Gambar 18. Skema gaya pada sumbu x

Pada gambar di atas terdapat beban pada salah satu lengan, sehingga menyebabkan ketidaksetimbangan. Untuk menyeimbangkannya kembali, diperlukan suatu gaya yang berlawanan. untuk memudahkan perhitungan, kita misalkan servo sebagai sebuah titik dan massa batangnya diabaikan. Sketsa gaya yang bekerja pada gambar di atas adalah sebagai berikut :



Gambar 19 .Sketsa gaya pada sumbu x

$$l = 3\text{cm}$$

$$m = 45 \text{ gram}$$

$$\tau = F \cdot l = 0.045 \times 10 \times 0.03 = 0.0135 \text{ Nm}$$

Dari perhitungan di atas, untuk menggerakan lengan dibutuhkan torsi minimal sebesar 0.0135 Nm. Pada penelitian ini digunakan servo dengan torsi sebesar 7.8 Nm. Torsi servo tersebut digunakan untuk mengkompensasi dan mengatur kesetimbangan dari *prototype* kamera yang memiliki massa kurang lebih 100 gram. Kesetimbangan torsional dikontrol oleh perubahan sudut akibat dari kemiringan sistem. Misalkan kemiringan yang terjadi adalah 60 derajat, maka sistem kontrol dalam hal ini sistem kontrol terbuka akan mengkompensasi sebesar -60 derajat. Secara matematis dapat diartikan bahwa tidak ada perubahan sudut. Oleh karena itu secara elektronik posisi *prototype* kamera dapat terkontrol sehingga posisinya adalah horizontal. Secara fisika, sistem tersebut berada pada kondisi diam dan setimbang, dimana jumlah total gaya-gaya yang bekerja baik secara tangensial maupun rotasional dikontrol agar bernilai nol ($F = 0$ dan $\tau = 0$).

B. Hasil Pengujian dan Pembahasan

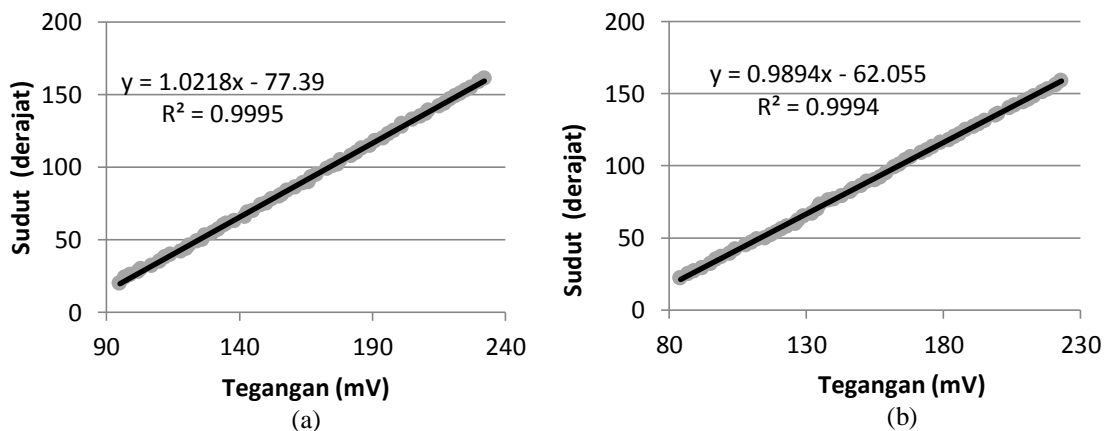
1. Kalibrasi Sudut Potensiometer

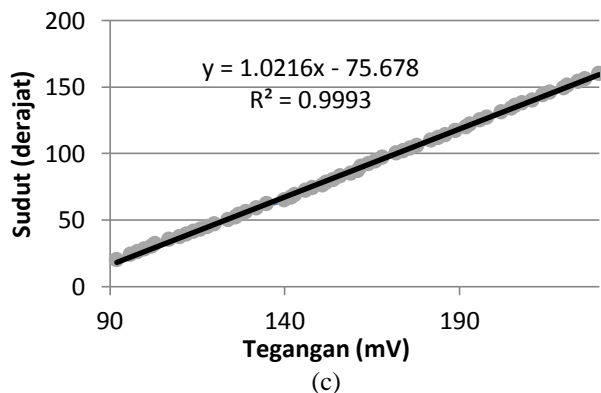
Proses ini bertujuan untuk mengubah besaran tegangan (V) yang dihasilkan oleh potensiometer ke besaran sudut (θ) melalui proses regresi. Kalibrasi ini untuk mengetahui perubahan sudut pada *stabilizer* kamera (sumbu x dan sumbu y) dan sudut gangguan untuk *stabilizer* kamera. Tahapan yang dilakukan yaitu mengambil data sudut dan tegangan secara bersamaan, kemudian

menggunakan tahap perhitungan untuk mencari persamaan regresi dan korelasi dengan menggunakan metode regresi.

Setelah mendapatkan persamaan, maka persamaan tersebut dimasukan ke dalam mikrokontroler sebagai parameter akuisisi data. Untuk mendeteksi perubahan sudut, digunakan potensiometer. Perubahan sudut yang dihasilkan oleh potensiometer pada *stabilizer* kamera akan dibandingkan dengan kemiringan sudut gangguan sebagai acuan tingkat akurasi dan respon *stabilizer* kamera.

Terdapat tiga potensiometer pada penelitian ini, yaitu potensiometer sumbu x, potensiometer sumbu y, dan potensiometer untuk sudut gangguan. Setiap potensiometer dilakukan kalibrasi, karena posisi pemasangan setiap potensiometer berbeda, sehingga pada sudut yang sama akan menghasilkan tegangan yang berbeda. Berikut hasil dari regresi potensiometer :





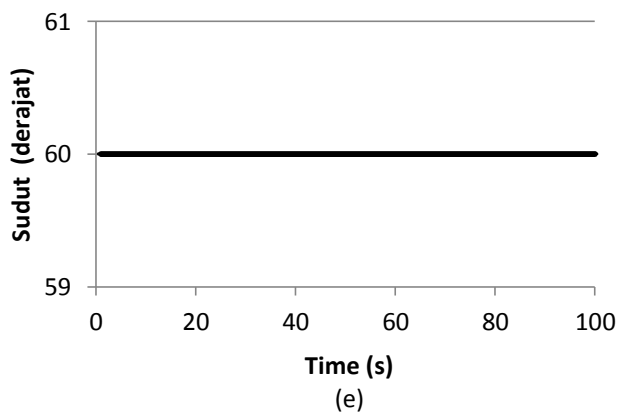
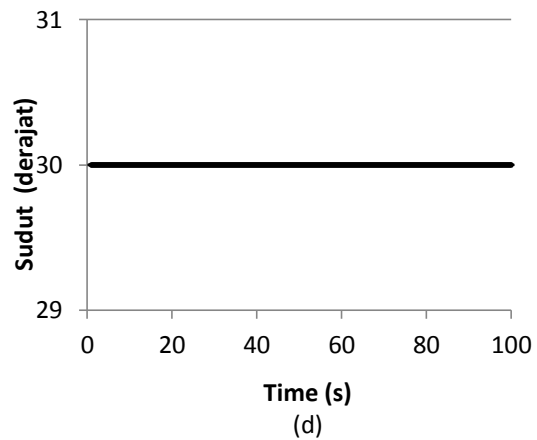
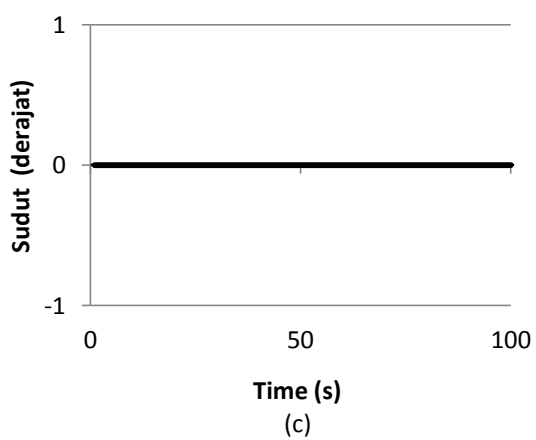
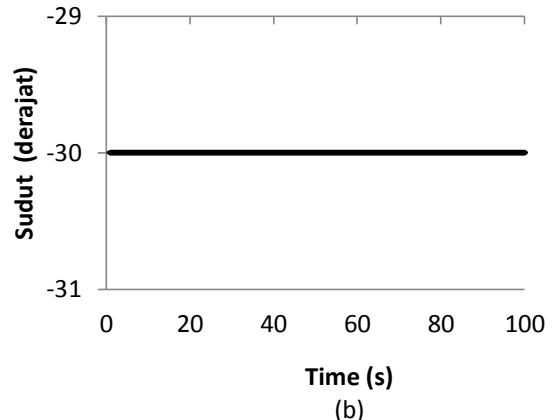
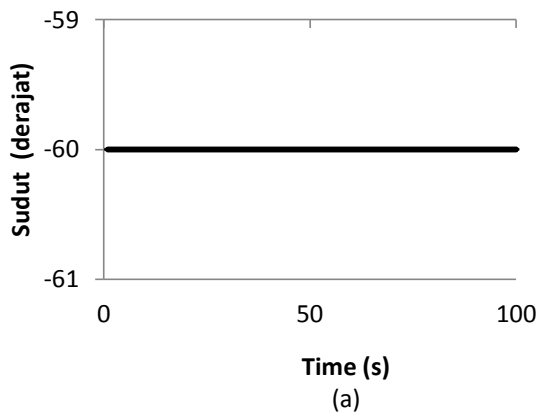
Gambar 20. Grafik perbandingan sudut terhadap tegangan dan hasil regresi pada potensiometer menggunakan metode regresi.
 (a) sumbu x, (b) sumbu y, (c) sudut gangguan.

Dari hasil perhitungan regresi dan korelasi, terlihat hubungan antara tegangan (V) potensiometer dan sudut (θ) adalah linier, dan dengan nilai korelasi yang tinggi. Hasil regresi ini menjadi proses dalam kalibrasi tegangan terhadap sudut. Data dari potensiometer ini akan menjadi parameter dalam mengukur tingkat akurasi dan respon *stabilizer* kamera.

2. Pengujian Akurasi dan Respon Sensor Percepatan H48C

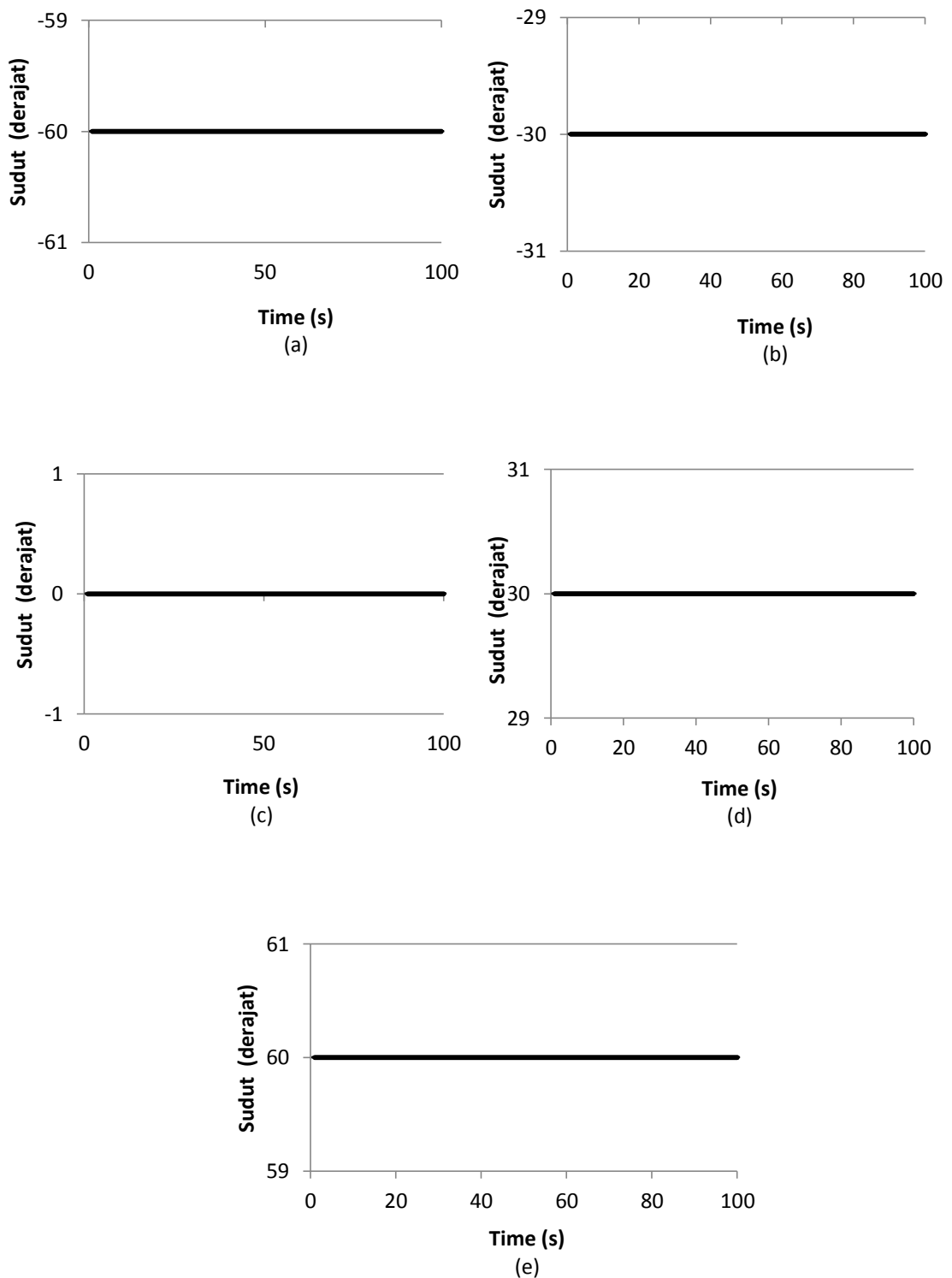
Proses ini untuk menguji tingkat akurasi dan respon pada sensor. Untuk menganalisa akurasi, besar sudut yang terbaca oleh sensor akan dibandingkan dengan kemiringan sebenarnya. Pengujian dilakukan pada sumbu -60° , -30° , 0° , 30° , dan 60° . Sedangkan untuk menguji respon, sensor digerakkan dari -60° sampai 60° . Jarak antara data satu dengan data selanjutnya adalah 50 ms, sehingga kecepatan sudut dapat kita ketahui dengan menghitung besar perubahan sudut dibagi dengan waktu. Berikut hasil dari pengujian akurasi dan respon sensor percepatan pada tiap sumbu :

2.1. Akurasi



Gambar 21. Hasil pengujian tingkat akurasi sensor H48C dalam mendetaksi kemiringan pada sumbu x.

Saat kemiringan (a) -60° , (b) -30° , (c) 0° , (d) 30° , (e) 60° .



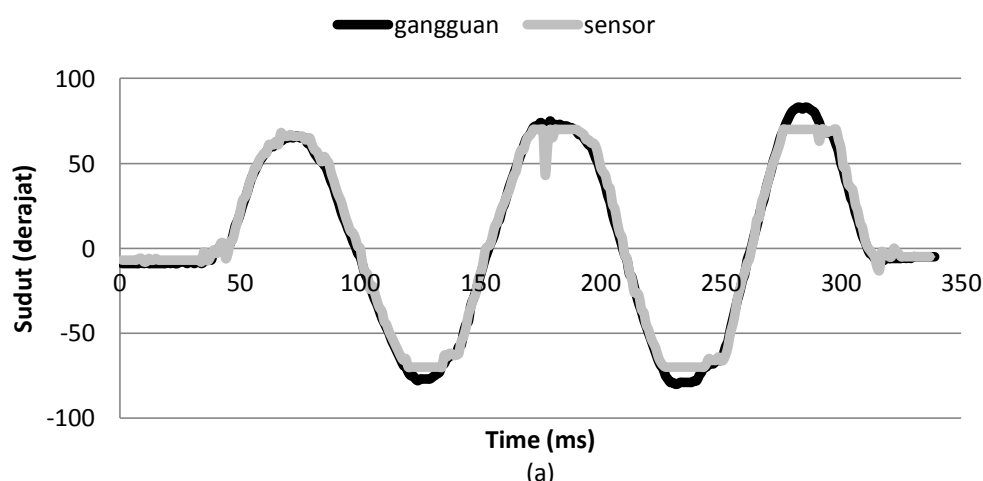
Gambar 22. Hasil pengujian tingkat akurasi sensor H48C dalam mendetaksi kemiringan pada sumbu y.
Saat kemiringan (a) -60°, (b) -30°, (c) 0°, (d) 30°, (e) 60°.

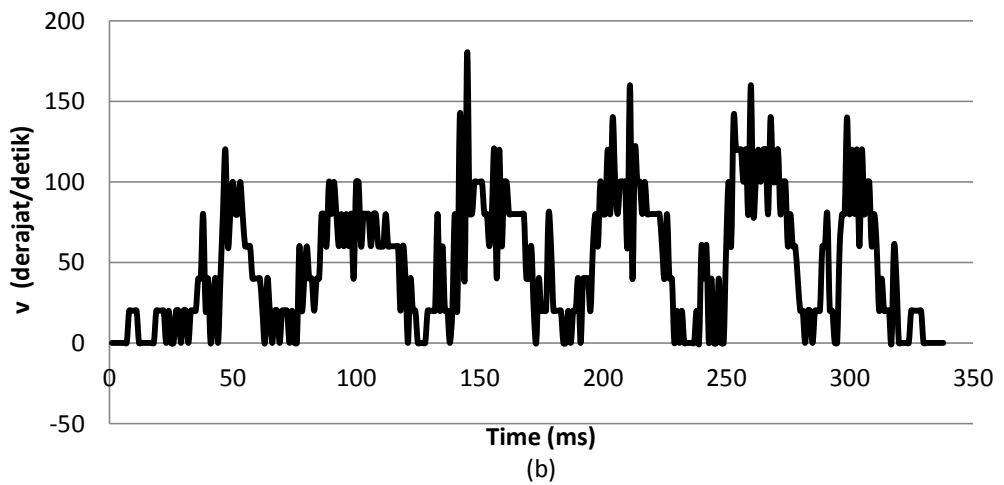
Dari hasil pengujian, terlihat pada grafik bahwa nilai sensor cukup stabil dan akurat (dalam keadaan diam). Ini menandakan bahwa sensor percepatan H48C cukup akurat dalam mendeteksi kemiringan pada sumbu x dan sumbu y. Data yang dibandingkan adalah besarnya kemiringan pada sudut gangguan dengan besarnya kemiringan yang dideteksi oleh sensor.

Tabel 1. Kesalahan rata-rata pengukuran tingkat akurasi sensor.

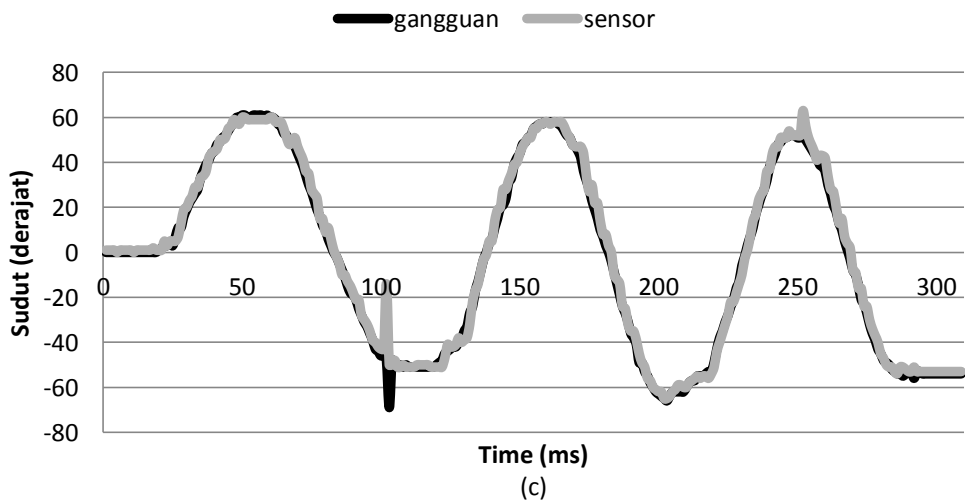
Kemiringan (derajat)	Keakuratan (%)	
	x	y
-60	100.00	100.00
-30	100.00	100.00
0	100.00	100.00
30	100.00	100.00
60	100.00	100.00

2.2. Respon

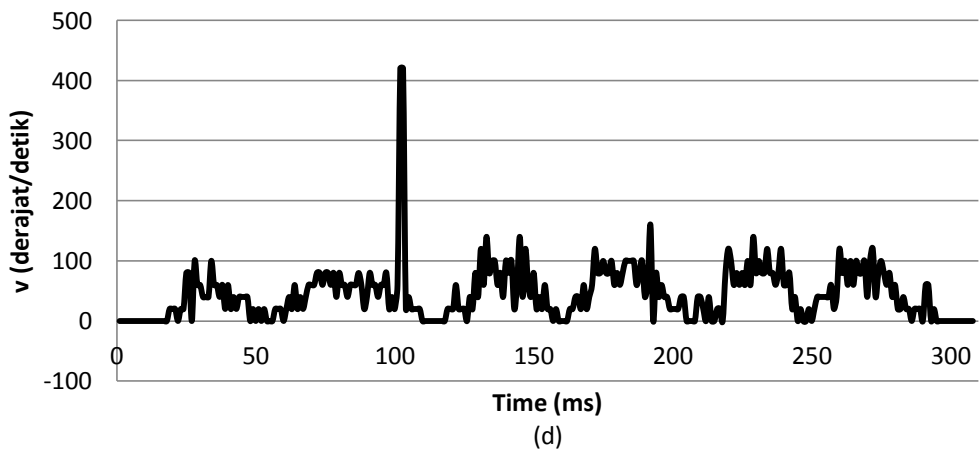




(b)



(c)



(d)

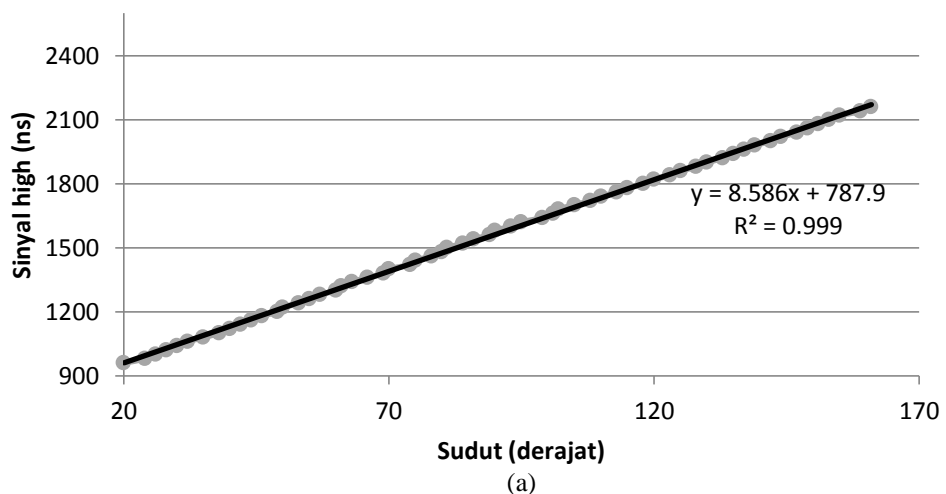
Gambar 23. Hasil pengujian respon sensor percepatan H48C dalam mendeteksi kemiringan dengan diberikan perubahan sudut. (a) grafik sensor-gangguan pada sumbu x, (b) kecepatan sudut gangguan pada pengujian sumbu x, (c) grafik sensor-gangguan pada sumbu y, (d) kecepatan sudut gangguan pada pengujian sumbu y.

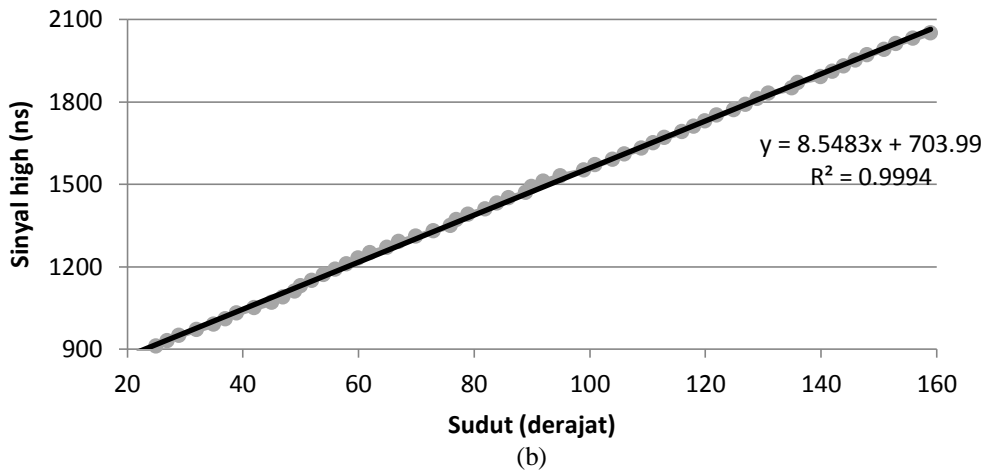
Dari hasil grafik (a) dan (c) terlihat bahwa sensor ini cukup *responsive* terhadap perubahan sudut, hal ini dibuktikan dengan adanya selisih sudut antara sudut gangguan dengan sudut sensor sebesar dua derajat pada setiap data. Namun dalam mendeteksi perubahan kemiringan, sensor ini kurang stabil. Hal ini disebabkan oleh perubahan kecepatan, seperti yang terlihat pada grafik (b) dan (d). Perubahan kecepatan terjadi akibat adanya perubahan percepatan, dengan begitu akan mempengaruhi perhitungan sudut kemiringan pada sensor.

3. Pengujian Kontrol *Stabilizer* Kamera menggunakan Metode Regresi.

3.1. Persamaan sistem kontrol

Terdapat dua servo pada *stabilizer* kamera, yaitu servo sumbu x dan servo sumbu y. Setiap servo dicari persamaan kontrolnya, karena posisi pemasangan setiap servo berbeda, sehingga pada sinyal yang sama akan menghasilkan sudut yang berbeda. Persamaan kontrol ini dilakukan dengan menggunakan regresi.



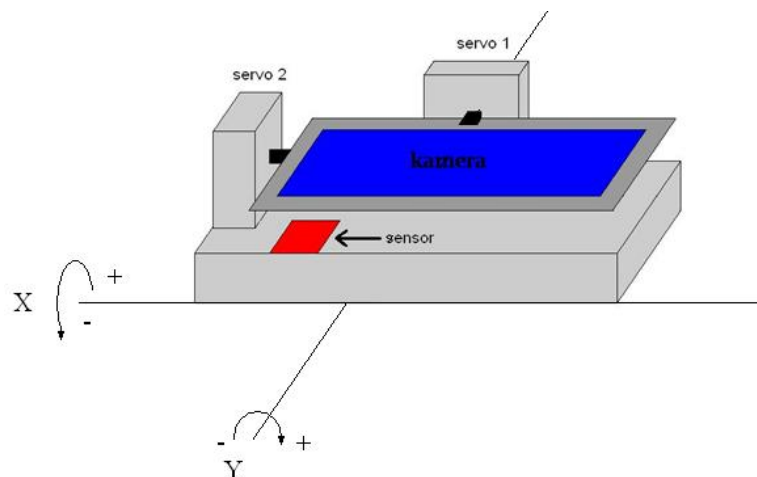


Gambar 24. Hasil persamaan kontrol sinyal servo terhadap sudut menggunakan metode regresi.
pada (a) sumbu x, (b) sumbu y.

Dari hasil perhitungan regresi dan korelasi, terlihat hubungan antara sudut (θ) dan sinyal servo adalah linier, dan dengan nilai korelasi yang tinggi. Hasil persamaan kontrol ini kemudian dimasukan ke mikrokontroler sebagai persamaan kontrol pada sistem kontrol terbuka.

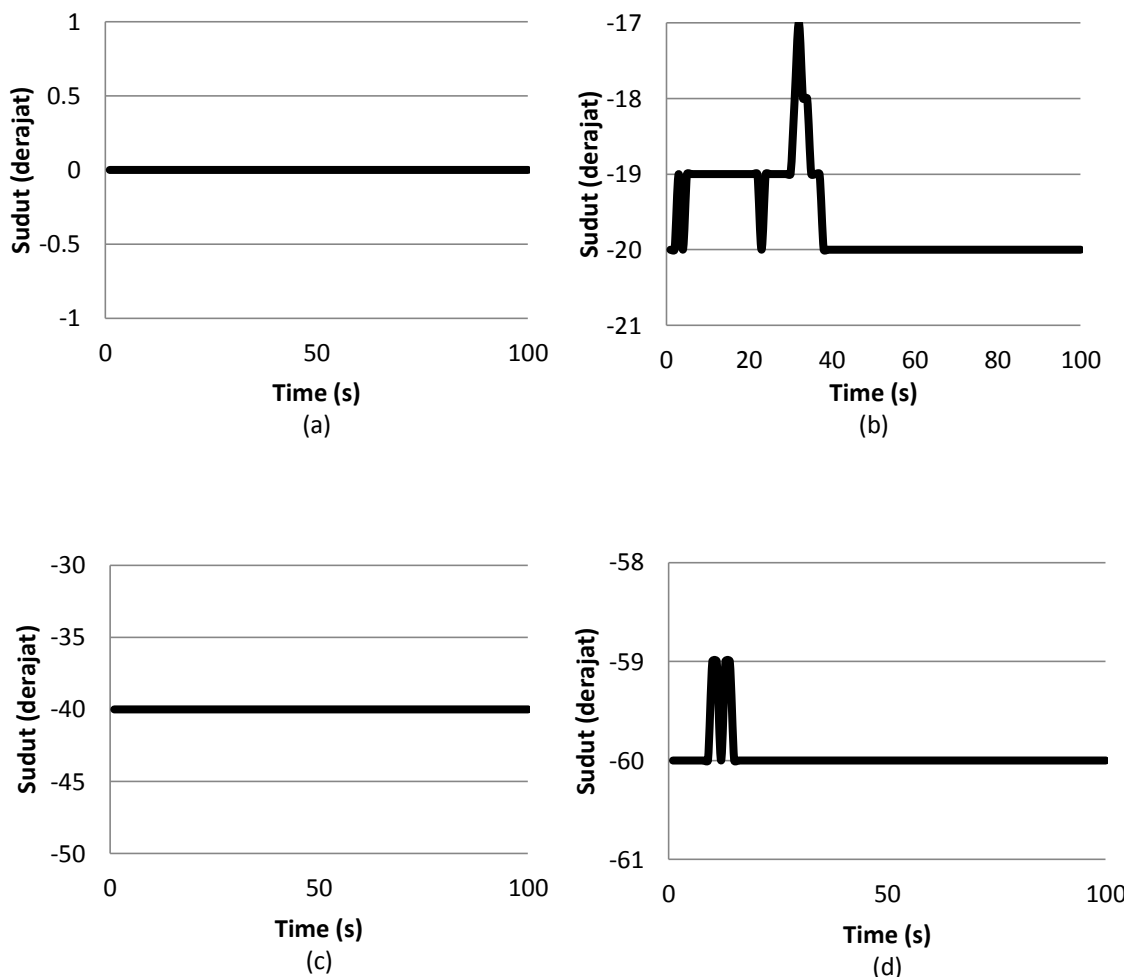
3.2. Tingkat akurasi *stabilizer* kamera

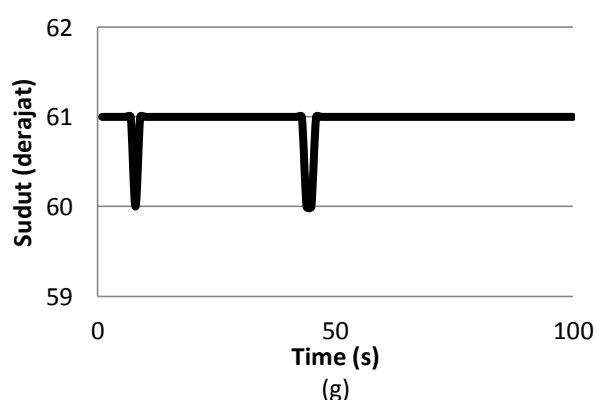
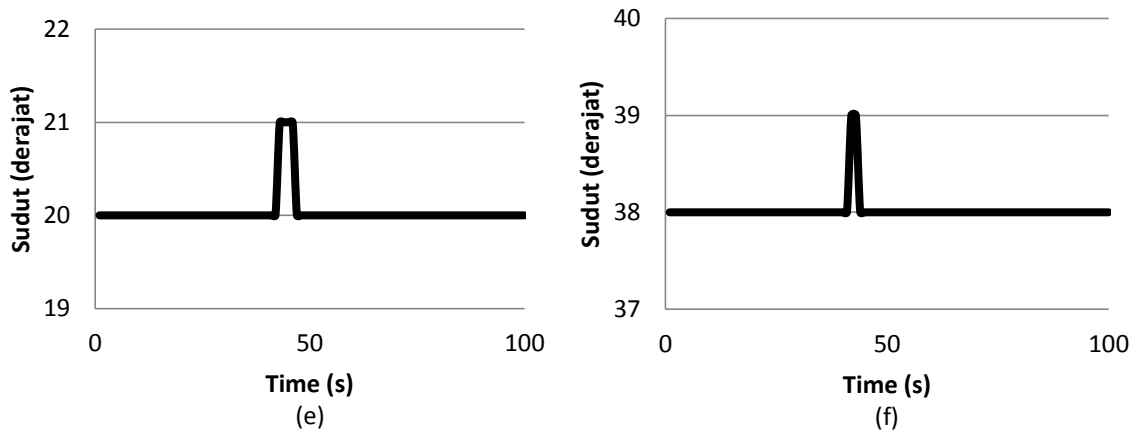
Untuk menguji tingkat akurasi *stabilizer* kamera ini, dipergunakan sebuah alat yang dapat diatur kemiringannya. Pengujian dilakukan dengan membandingkan sudut kemiringan (gangguan) dengan sudut *stabilizer* kamera.



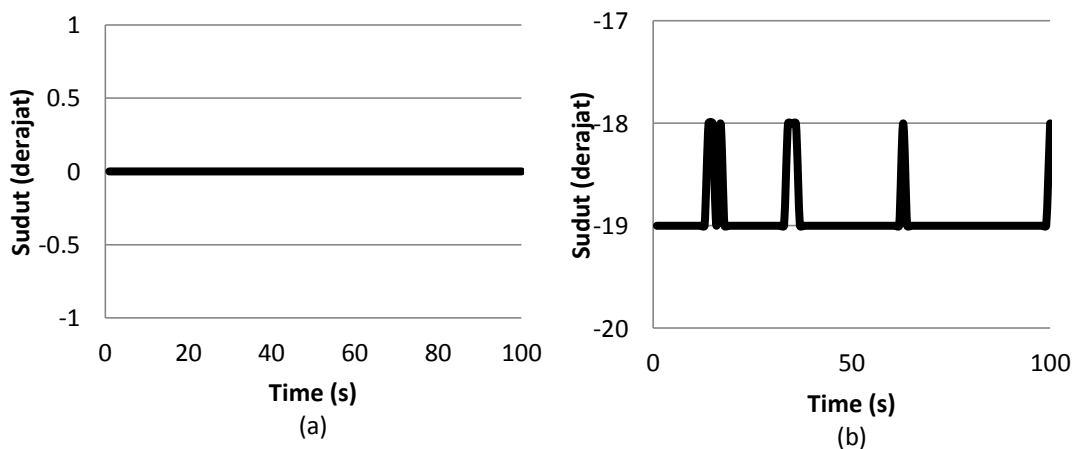
Gambar 25. Sumbu kemiringan pada *stabilizer* kamera

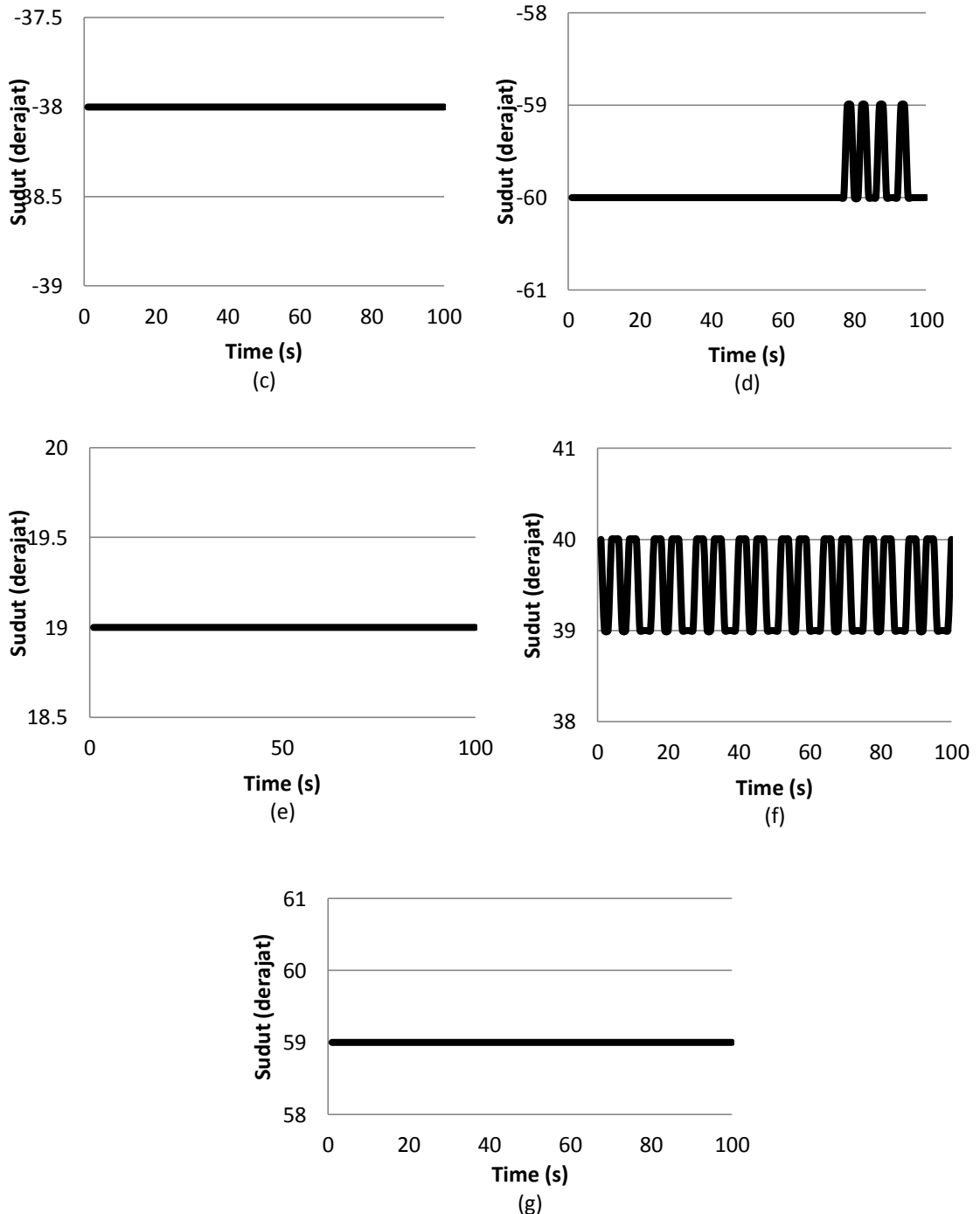
Pengujian tingkat akurasi ini dilakukan secara bergantian. Data yang dibandingkan adalah kemiringan yang terbaca oleh sensor dan kemiringan sumbu pada *stabilizer* kamera. Berikut ini hasil dari pengujian pada masing-masing sumbu :





Gambar 26. Hasil pengujian tingkat akurasi *stabilizer* kamera pada sumbu x, ketika (a) 0° , (b) -20° , (c) -40° , (d) -60° , (e) 20° , (f) 40° , (g) 60° .





Gambar 27. Hasil pengujian tingkat akurasi *stabilizer* kamera pada sumbu y, ketika (a) 0° , (b) -20° , (c) -40° , (d) -60° , (e) 20° , (f) 40° , (g) 60° .

Dari hasil pengujian diatas, tingkat akurasi pada *stabilizer* kamera terdapat kesalahan pada target posisi, dimana sudut *stabilizer* kamera tidak sesuai dengan

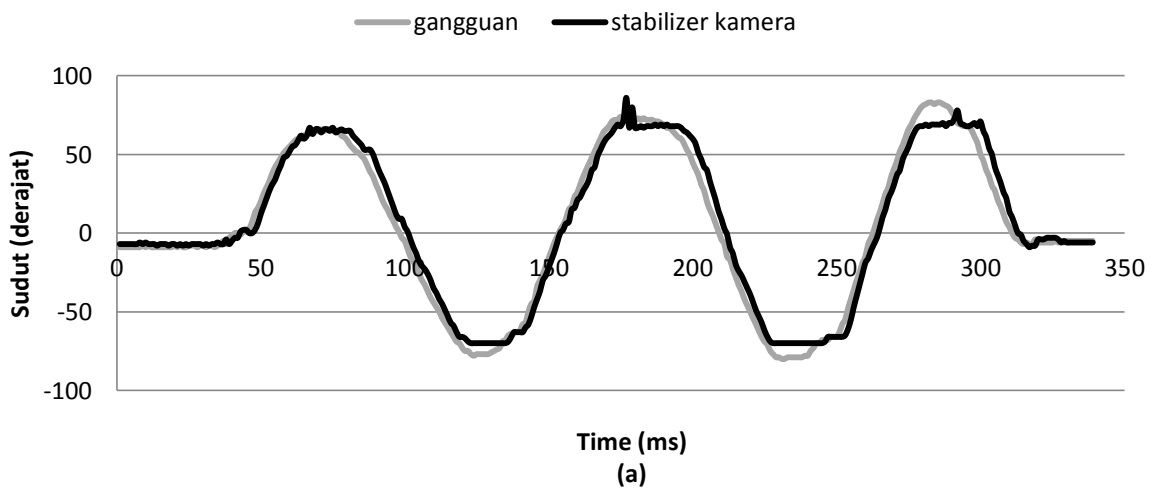
sudut gangguan. Hal ini bisa disebabkan oleh kesalahan mekanik, yaitu terdapat celah antara tuas servo dengan tuas *stabilizer* kamera, sehingga mempengaruhi sensor potensiometer dalam mendeteksi sudut.

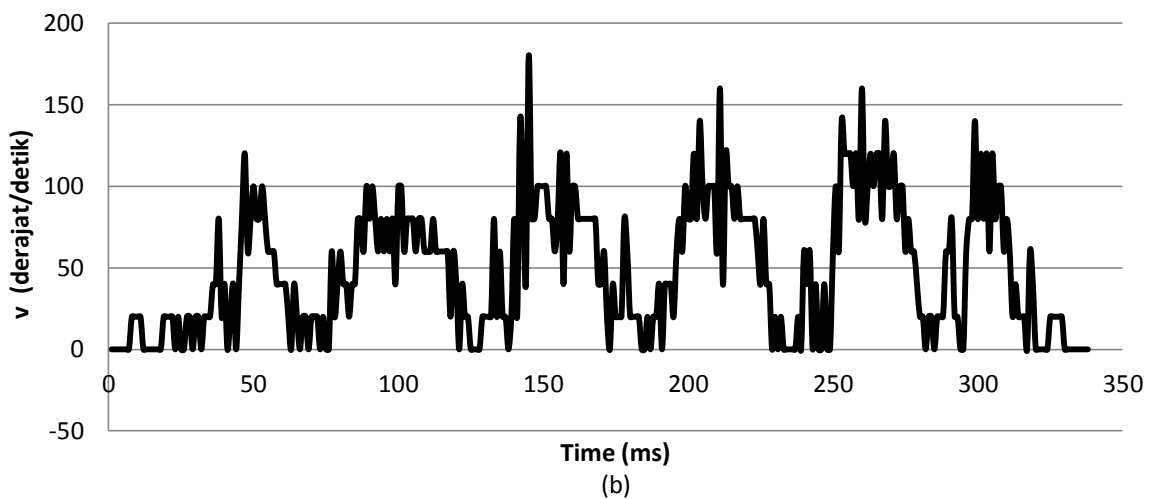
Nilai keakuratan didapat dengan merata-ratakan sudut pada *stabilizer* kamera terhadap sudut gangguan. Hasil keakurasi *stabilizer* kamera ini dapat dilihat pada tabel di bawah ini.

Tabel 2. Kesalahan rata-rata pengukuran tingkat akurasi *stabilizer* kamera.

Kemiringan (derajat)	Keakuratan (%)	
	x	y
0	100.00	100.00
20	99.80	95.00
40	95.00	98.75
60	98.40	98.30
-20	98.10	94.60
-40	100.00	95.00
-60	99.90	99.80

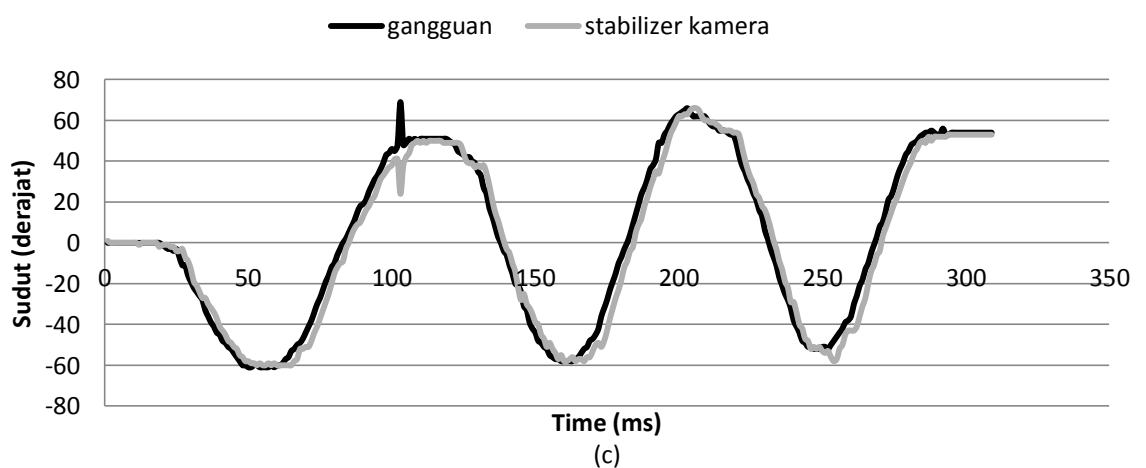
3.3. Respon *stabilizer* kamera





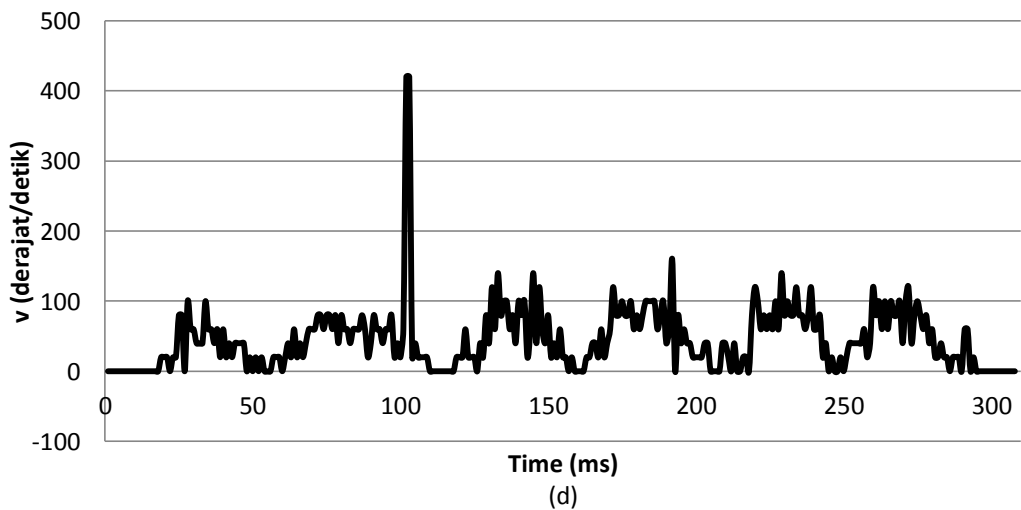
Time (ms)

(b)



Time (ms)

(c)



Time (ms)

(d)

Gambar 28. Hasil pengujian respon stabilizer kamera,

(a) grafik *stabilizer* kamera-gangguan pada sumbu x, (b) kecepatan sudut gangguan pada pengujian sumbu x. (c) grafik *stabilizer* kamera-gangguan pada sumbu y, (d) kecepatan sudut gangguan pada pengujian sumbu x.

Dari hasil pengujian ini, terlihat jelas bahwa perubahan sudut *stabilizer* kamera ini tidak stabil. Hal ini bisa terlihat pada gambar 11.a dan 11.b, dimana terjadi penurunan yang signifikan serta lompatan-lompatan yang tidak sesuai dengan perubahan sudut gangguan. Hal ini disebabkan oleh sensor percepatan yang menjadi nilai input mengalami perubahan percepatan, sehingga dalam perhitungan kemiringan, dan persamaan kontrol pada servo juga akan terganggu.

Dalam gambar 11.a dan 11.c terlihat bahwa terjadi perbedaan waktu antara *stabilizer* kamera dengan sudut gangguan terhadap posisi. Perbedaan ini disebabkan karena mikrokontroler memerlukan waktu untuk melakukan sebuah pekerjaan. Pekerjaan yang dilakukan adalah membaca sensor (percepatan dan potensiometer), perhitungan tangensial, dan perhitungan sistem kontrol. Oleh sebab itu, ketika mikrokontroler mendapat nilai input, mikrokontroler akan memproses nilai tersebut kedalam persamaan kontrol yang telah diberikan, setelah mendapatkan nilai output, mikrokontroler akan menggerakkan servo sesuai dengan perhitungan nilai output tersebut.

BAB V

KESIMPULAN DAN SARAN

A. Kesimpulan

Berdasarkan hasil penelitian dan analisa data yang telah diuraikan pada bab sebelumnya, maka dapat ditarik beberapa kesimpulan sebagai berikut :

1. Dalam keadaan diam, sensor percepatan H48C mampu mendeteksi kemiringan pada sumbu x dan sumbu y dengan tingkat akurasi sebesar 100%.
2. Perubahan sudut kemiringan sangat mempengaruhi sensor percepatan H48C dalam mendeteksi kemiringan suatu benda, sehingga berpengaruh terhadap kesetabilan *stabilizer* kamera.
3. Tingkat akurasi stabilizer kamera pada sumbu x sebesar 98.7% dan pada sumbu y sebesar 97.3%.
4. Terdapat perbedaan posisi antara stabilizer kamera dengan sudut gangguan, pada kecepatan sudut $80^0/\text{s}$ terdapat selisih sebesar 100 ms.

B. Saran

Untuk penelitian selanjutnya, perlu diperhatikan beberapa hal berikut :

1. Menggunakan sensor *gyroscope* sebagai pendeksi kemiringan.
2. Menggunakan sistem kontrol tertutup, agar nilai akurasi semakin tinggi.
3. Menggunakan mikrokontroler yang lebih stabil.
4. Menggunakan resolusi ADC yang tinggi.
5. Menggunakan sistem kontrol tertutup.

DAFTAR PUSTAKA

- [1] ATMEL. 2006. “ATmega 8535L DataSheet”. Orchard Parkway, USA.
- [2] M.A. Heryanto dan Wisnu A. 2008. “Pemrograman Bahasa C untuk Mikrokontroler ATMEGA8535”. Yogyakarta : ANDI.
- [3] Fisioli A. 2006.”Practical PID Control”. ISBN-13: 9781846285851. Springer-Verlag London Limited.
- [4] Wahyu, Thomas DH. 2003. “Analisis dan Desain Sistem Kontrol dengan Matlab”. Yogyakarta : ANDI.
- [5] M.A. Heryanto dan Wisnu A. 2008. “Pemrograman Bahasa C untuk Mikrokontroler ATMEGA8535”. ANDI, Yogyakarta.
- [6] Supranto, J. (1987). *Statistika Teori & Aplikasi*. Jakarta : Erlangga.
- [7] <http://www.nexteknik.com>. 8 Agustus 2011 pukul 21.30 WIB.
- [8] Agus B. 2008. “Rahasia Kemudahan Bahasa C dalam Mikrokontroler Atmega 8535”. Graha Ilmu, Jakarta.
- [9] <http://www.parallax.com>. 8 Agustus 2011 pukul 21.00 WIB.
- [10] Fisioli A. 2006.”Practical PID Control”. ISBN-13: 9781846285851. Springer-Verlag London Limited.
- [11] <http://www.bolatdinc.com>. 8 Agustus 2011 pukul 21.15 WIB.
- [12] <http://www.bppt.go.id> . 8 Agustus 2011 pukul 21.18 WIB.
- [13] <http://www.parallax.com>. 8 Agustus 2011 pukul 22.18 WIB.
- [14] <http://id.wikipedia.org/wiki/Potensiometer>. 8 Agustus 2011 pukul 22.30 WIB.
- [13] Wahyu, Thomas DH. 2003. “Analisis dan Desain Sistem Kontrol dengan Matlab”. Yogyakarta : ANDI.

LAMPIRAN

Lampiran 1. Gambar Alat



(a)



(b)



(c)



(d)



(e)

Gambar :

- a. Stabilizer kamera
- b. Stabilizer kamera
- c. Sudut gangguan
- d. Pengujian sumbu y
- e. Pengujian sumbu x

Lampiran 2.Akurasi sensor

No.	Sudut Gangguan Sumbu x					No.	Sudut Gangguan Sumbu y				
	-60	-30	0	30	60		-60	-30	0	30	60
1	-60	-30	0	30	60	1	-60	-30	0	30	60
2	-60	-30	0	30	60	2	-60	-30	0	30	60
3	-60	-30	0	30	60	3	-60	-30	0	30	60
4	-60	-30	0	30	60	4	-60	-30	0	30	60
5	-60	-30	0	30	60	5	-60	-30	0	30	60
6	-60	-30	0	30	60	6	-60	-30	0	30	60
7	-60	-30	0	30	60	7	-60	-30	0	30	60
8	-60	-30	0	30	60	8	-60	-30	0	30	60
9	-60	-30	0	30	60	9	-60	-30	0	30	60
10	-60	-30	0	30	60	10	-60	-30	0	30	60
11	-60	-30	0	30	60	11	-60	-30	0	30	60
12	-60	-30	0	30	60	12	-60	-30	0	30	60
13	-60	-30	0	30	60	13	-60	-30	0	30	60
14	-60	-30	0	30	60	14	-60	-30	0	30	60
15	-60	-30	0	30	60	15	-60	-30	0	30	60
16	-60	-30	0	30	60	16	-60	-30	0	30	60
17	-60	-30	0	30	60	17	-60	-30	0	30	60
18	-60	-30	0	30	60	18	-60	-30	0	30	60
19	-60	-30	0	30	60	19	-60	-30	0	30	60
20	-60	-30	0	30	60	20	-60	-30	0	30	60
21	-60	-30	0	30	60	21	-60	-30	0	30	60
22	-60	-30	0	30	60	22	-60	-30	0	30	60
23	-60	-30	0	30	60	23	-60	-30	0	30	60
24	-60	-30	0	30	60	24	-60	-30	0	30	60
25	-60	-30	0	30	60	25	-60	-30	0	30	60
26	-60	-30	0	30	60	26	-60	-30	0	30	60
27	-60	-30	0	30	60	27	-60	-30	0	30	60
28	-60	-30	0	30	60	28	-60	-30	0	30	60
29	-60	-30	0	30	60	29	-60	-30	0	30	60
30	-60	-30	0	30	60	30	-60	-30	0	30	60
31	-60	-30	0	30	60	31	-60	-30	0	30	60
32	-60	-30	0	30	60	32	-60	-30	0	30	60
33	-60	-30	0	30	60	33	-60	-30	0	30	60
34	-60	-30	0	30	60	34	-60	-30	0	30	60
35	-60	-30	0	30	60	35	-60	-30	0	30	60
36	-60	-30	0	30	60	36	-60	-30	0	30	60
37	-60	-30	0	30	60	37	-60	-30	0	30	60
38	-60	-30	0	30	60	38	-60	-30	0	30	60
39	-60	-30	0	30	60	39	-60	-30	0	30	60

40	-60	-30	0	30	60		40	-60	-30	0	30	60
41	-60	-30	0	30	60		41	-60	-30	0	30	60
42	-60	-30	0	30	60		42	-60	-30	0	30	60
43	-60	-30	0	30	60		43	-60	-30	0	30	60
44	-60	-30	0	30	60		44	-60	-30	0	30	60
45	-60	-30	0	30	60		45	-60	-30	0	30	60
46	-60	-30	0	30	60		46	-60	-30	0	30	60
47	-60	-30	0	30	60		47	-60	-30	0	30	60
48	-60	-30	0	30	60		48	-60	-30	0	30	60
49	-60	-30	0	30	60		49	-60	-30	0	30	60
50	-60	-30	0	30	60		50	-60	-30	0	30	60
51	-60	-30	0	30	60		51	-60	-30	0	30	60
52	-60	-30	0	30	60		52	-60	-30	0	30	60
53	-60	-30	0	30	60		53	-60	-30	0	30	60
54	-60	-30	0	30	60		54	-60	-30	0	30	60
55	-60	-30	0	30	60		55	-60	-30	0	30	60
56	-60	-30	0	30	60		56	-60	-30	0	30	60
57	-60	-30	0	30	60		57	-60	-30	0	30	60
58	-60	-30	0	30	60		58	-60	-30	0	30	60
59	-60	-30	0	30	60		59	-60	-30	0	30	60
60	-60	-30	0	30	60		60	-60	-30	0	30	60
61	-60	-30	0	30	60		61	-60	-30	0	30	60
62	-60	-30	0	30	60		62	-60	-30	0	30	60
63	-60	-30	0	30	60		63	-60	-30	0	30	60
64	-60	-30	0	30	60		64	-60	-30	0	30	60
65	-60	-30	0	30	60		65	-60	-30	0	30	60
66	-60	-30	0	30	60		66	-60	-30	0	30	60
67	-60	-30	0	30	60		67	-60	-30	0	30	60
68	-60	-30	0	30	60		68	-60	-30	0	30	60
69	-60	-30	0	30	60		69	-60	-30	0	30	60
70	-60	-30	0	30	60		70	-60	-30	0	30	60
71	-60	-30	0	30	60		71	-60	-30	0	30	60
72	-60	-30	0	30	60		72	-60	-30	0	30	60
73	-60	-30	0	30	60		73	-60	-30	0	30	60
74	-60	-30	0	30	60		74	-60	-30	0	30	60
75	-60	-30	0	30	60		75	-60	-30	0	30	60
76	-60	-30	0	30	60		76	-60	-30	0	30	60
77	-60	-30	0	30	60		77	-60	-30	0	30	60
78	-60	-30	0	30	60		78	-60	-30	0	30	60
79	-60	-30	0	30	60		79	-60	-30	0	30	60
80	-60	-30	0	30	60		80	-60	-30	0	30	60
81	-60	-30	0	30	60		81	-60	-30	0	30	60

82	-60	-30	0	30	60		82	-60	-30	0	30	60
83	-60	-30	0	30	60		83	-60	-30	0	30	60
84	-60	-30	0	30	60		84	-60	-30	0	30	60
85	-60	-30	0	30	60		85	-60	-30	0	30	60
86	-60	-30	0	30	60		86	-60	-30	0	30	60
87	-60	-30	0	30	60		87	-60	-30	0	30	60
88	-60	-30	0	30	60		88	-60	-30	0	30	60
89	-60	-30	0	30	60		89	-60	-30	0	30	60
90	-60	-30	0	30	60		90	-60	-30	0	30	60
91	-60	-30	0	30	60		91	-60	-30	0	30	60
92	-60	-30	0	30	60		92	-60	-30	0	30	60
93	-60	-30	0	30	60		93	-60	-30	0	30	60
94	-60	-30	0	30	60		94	-60	-30	0	30	60
95	-60	-30	0	30	60		95	-60	-30	0	30	60
96	-60	-30	0	30	60		96	-60	-30	0	30	60
97	-60	-30	0	30	60		97	-60	-30	0	30	60
98	-60	-30	0	30	60		98	-60	-30	0	30	60
99	-60	-30	0	30	60		99	-60	-30	0	30	60
100	-60	-30	0	30	60		100	-60	-30	0	30	60
Rata-Rata	-60.0	-30.0	0.0	30.0	60.0		Rata-Rata	-60	-30	0.0	30.0	60.0
Akurasi	100	100	100	100	100		Akurasi	100	100	100	100	100

Lampiran 3.Respon sensor

Sumbu x

No	Sensor	Gangguan	Kec. Sudut Gangguan
1	-7	-9	0
2	-7	-9	0
3	-7	-9	0
4	-7	-9	0
5	-7	-9	0
6	-7	-9	0
7	-7	-9	0
8	-6	-9	20
9	-6	-8	20
10	-8	-9	20
11	-8	-8	20
12	-6	-9	0
13	-7	-9	0
14	-7	-9	0

sumbu y

No	Sensor	Gangguan	Kec. Sudut Gangguan
1	1	0	0
2	1	0	0
3	1	0	0
4	1	0	0
5	0	0	0
6	1	0	0
7	1	0	0
8	1	0	0
9	1	0	0
10	1	0	0
11	0	0	0
12	1	0	0
13	1	0	0
14	1	0	0

15	-6	-9	0		15	1	0	0
16	-7	-9	0		16	1	0	0
17	-7	-9	0		17	1	0	0
18	-7	-9	0		18	2	0	0
19	-7	-9	20		19	1	0	20
20	-7	-8	20		20	1	1	20
21	-7	-9	20		21	1	2	20
22	-7	-8	20		22	5	3	0
23	-7	-9	0		23	3	3	20
24	-7	-9	20		24	5	4	20
25	-7	-8	0		25	5	3	80
26	-7	-8	0		26	5	7	80
27	-7	-8	20		27	7	11	0
28	-7	-9	20		28	13	11	100
29	-7	-8	0		29	19	16	60
30	-7	-8	20		30	20	19	60
31	-7	-9	20		31	23	22	40
32	-7	-8	0		32	25	24	40
33	-7	-8	20		33	29	26	40
34	-8	-9	20		34	29	28	100
35	-2	-8	20		35	33	33	60
36	-7	-7	40		36	34	36	60
37	-7	-5	40		37	36	39	40
38	-4	-7	80		38	42	41	60
39	-1	-3	20		39	44	44	20
40	-3	-2	40		40	45	45	60
41	-2	0	0		41	46	48	20
42	3	0	20		42	50	49	40
43	3	-1	40		43	50	51	20
44	-6	1	0		44	51	52	40
45	-3	1	40		45	55	54	40
46	4	3	80		46	56	56	40
47	5	7	120		47	59	58	40
48	11	13	60		48	58	60	0
49	16	16	80		49	57	60	20
50	21	20	100		50	60	61	0
51	28	25	80		51	60	61	20
52	30	29	80		52	59	60	0
53	33	33	100		53	59	60	20
54	39	38	80		54	59	61	0
55	42	42	60		55	59	61	0
56	47	45	60		56	59	61	0

57	48	48	60		57	59	61	20
58	52	51	40		58	59	60	20
59	54	53	40		59	59	61	20
60	56	55	40		60	60	60	0
61	56	57	40		61	60	60	20
62	61	59	20		62	58	59	40
63	61	60	0		63	58	57	20
64	61	60	40		64	58	56	60
65	63	62	20		65	55	53	20
66	61	63	0		66	51	52	40
67	68	63	20		67	48	50	20
68	66	64	20		68	49	49	40
69	66	65	0		69	51	47	60
70	66	65	20		70	47	44	60
71	67	66	20		71	44	41	60
72	66	65	20		72	41	38	80
73	66	66	0		73	36	34	80
74	66	66	20		74	35	30	60
75	66	65	0		75	28	27	80
76	66	65	0		76	26	23	80
77	64	65	60		77	24	19	60
78	64	62	20		78	15	16	80
79	65	61	40		79	15	12	40
80	61	59	60		80	9	10	80
81	58	56	40		81	11	6	60
82	57	54	40		82	6	3	60
83	54	52	20		83	1	0	40
84	51	51	40		84	-2	-2	60
85	54	49	40		85	-5	-5	60
86	52	47	80		86	-10	-8	60
87	50	43	80		87	-10	-11	80
88	44	39	60		88	-13	-15	60
89	40	36	100		89	-15	-18	20
90	35	31	80		90	-18	-19	40
91	31	27	100		91	-21	-21	80
92	28	22	80		92	-21	-25	60
93	23	18	60		93	-28	-28	60
94	18	15	80		94	-30	-31	40
95	14	11	60		95	-32	-33	60
96	10	8	80		96	-35	-36	60
97	9	4	60		97	-39	-39	80
98	6	1	80		98	-40	-43	20

99	1	-3	40		99	-42	-44	40
100	0	-5	100		100	-43	-46	20
101	-9	-10	100		101	-43	-45	60
102	-14	-15	60		102	-14	-48	420
103	-15	-18	80		103	-50	-69	420
104	-24	-22	80		104	-50	-48	20
105	-22	-26	80		105	-48	-49	40
106	-26	-30	60		106	-51	-51	20
107	-31	-33	80		107	-51	-50	20
108	-35	-37	80		108	-50	-51	20
109	-37	-41	60		109	-51	-50	20
110	-43	-44	60		110	-51	-51	0
111	-45	-47	60		111	-51	-51	0
112	-49	-50	80		112	-51	-51	0
113	-52	-54	60		113	-50	-51	0
114	-55	-57	60		114	-50	-51	0
115	-58	-60	60		115	-50	-51	0
116	-61	-63	60		116	-50	-51	0
117	-64	-66	60		117	-50	-51	0
118	-66	-69	20		118	-51	-51	0
119	-65	-70	60		119	-51	-51	20
120	-70	-73	40		120	-51	-50	20
121	-70	-75	0		121	-51	-49	20
122	-70	-75	40		122	-51	-48	60
123	-70	-77	20		123	-47	-45	20
124	-70	-78	20		124	-41	-44	20
125	-70	-77	0		125	-42	-43	20
126	-70	-77	0		126	-42	-42	0
127	-70	-77	0		127	-41	-42	40
128	-70	-77	0		128	-38	-40	20
129	-70	-77	20		129	-40	-39	80
130	-70	-76	20		130	-39	-35	40
131	-70	-75	20		131	-38	-33	120
132	-70	-74	20		132	-32	-27	60
133	-70	-73	80		133	-22	-24	140
134	-70	-69	20		134	-17	-17	80
135	-63	-68	60		135	-14	-13	100
136	-64	-65	20		136	-8	-8	100
137	-62	-64	20		137	-3	-3	60
138	-62	-63	0		138	-1	0	80
139	-63	-63	20		139	5	4	40
140	-63	-62	80		140	5	6	100

141	-62	-58	20		141	14	11	80	
142	-55	-57	140		142	19	15	100	
143	-52	-50	100		143	20	20	20	
144	-47	-45	40		144	28	21	60	
145	-39	-43	180		145	28	24	140	
146	-35	-34	80		146	32	31	40	
147	-30	-30	80		147	35	33	120	
148	-27	-26	100		148	39	39	60	
149	-19	-21	100		149	40	42	40	
150	-15	-16	100		150	44	44	80	
151	-10	-11	100		151	47	48	20	
152	-1	-6	80		152	49	49	40	
153	1	-2	80		153	51	51	20	
154	2	2	60		154	51	52	60	
155	7	5	80		155	55	55	20	
156	13	9	120		156	55	56	20	
157	15	15	40		157	57	57	0	
158	20	17	120		158	57	57	20	
159	24	23	60		159	58	58	0	
160	27	26	100		160	58	58	0	
161	31	31	100		161	57	58	0	
162	34	36	80		162	58	58	0	
163	39	40	80		163	58	58	20	
164	43	44	80		164	58	57	20	
165	46	48	80		165	58	56	40	
166	54	52	80		166	56	54	40	
167	58	56	80		167	53	52	20	
168	58	60	80		168	51	51	60	
169	63	64	40		169	48	48	20	
170	66	66	40		170	47	47	40	
171	67	68	60		171	47	45	60	
172	70	71	20		172	47	42	120	
173	70	72	0		173	44	36	80	
174	70	72	40		174	34	32	80	
175	70	74	20		175	27	28	100	
176	70	73	20		176	30	23	80	
177	43	72	20		177	22	19	80	
178	61	71	80		178	22	15	100	
179	70	75	60		179	14	10	60	
180	65	72	20		180	8	7	80	
181	70	73	20		181	8	3	60	
182	70	72	20		182	3	0	80	

183	70	73	20		183	0	-4	100	
184	70	72	0		184	-10	-9	100	
185	70	72	0		185	-12	-14	100	
186	70	72	20		186	-14	-19	100	
187	70	71	0		187	-24	-24	60	
188	70	71	20		188	-25	-27	80	
189	70	70	20		189	-32	-31	100	
190	70	69	40		190	-35	-36	40	
191	69	67	0		191	-35	-38	60	
192	68	67	40		192	-39	-41	160	
193	67	65	40		193	-45	-49	0	
194	64	63	40		194	-49	-49	80	
195	64	61	20		195	-51	-53	40	
196	62	60	60		196	-56	-55	60	
197	62	57	80		197	-57	-58	40	
198	60	53	60		198	-60	-60	40	
199	55	50	100		199	-61	-62	20	
200	48	45	80		200	-62	-63	20	
201	45	41	80		201	-62	-64	20	
202	43	37	120		202	-65	-65	20	
203	37	31	80		203	-65	-66	40	
204	35	27	140		204	-64	-64	40	
205	26	20	100		205	-62	-62	0	
206	23	15	80		206	-61	-62	0	
207	15	11	100		207	-59	-62	0	
208	9	6	100		208	-59	-62	0	
209	6	1	100		209	-60	-62	40	
210	-4	-4	60		210	-60	-60	40	
211	-6	-7	160		211	-58	-58	20	
212	-14	-15	40		212	-57	-57	0	
213	-18	-17	120		213	-56	-57	40	
214	-26	-23	100		214	-55	-55	0	
215	-26	-28	100		215	-56	-55	0	
216	-28	-33	80		216	-55	-55	20	
217	-36	-37	100		217	-55	-54	20	
218	-38	-42	80		218	-56	-53	0	
219	-45	-46	80		219	-54	-53	80	
220	-48	-50	80		220	-51	-49	120	
221	-53	-54	80		221	-44	-43	100	
222	-56	-58	80		222	-40	-38	60	
223	-59	-62	80		223	-36	-35	80	
224	-64	-66	60		224	-32	-31	60	

225	-67	-69	40		225	-28	-28	80	
226	-69	-71	80		226	-22	-24	60	
227	-70	-75	40		227	-22	-21	100	
228	-70	-77	40		228	-18	-16	60	
229	-70	-79	0		229	-14	-13	140	
230	-70	-79	20		230	-10	-6	80	
231	-70	-80	0		231	-3	-2	100	
232	-70	-80	20		232	1	3	80	
233	-70	-79	0		233	7	7	80	
234	-70	-79	0		234	14	11	120	
235	-70	-79	0		235	17	17	80	
236	-70	-79	0		236	23	21	80	
237	-70	-79	0		237	26	25	60	
238	-70	-79	20		238	28	28	80	
239	-70	-78	0		239	36	32	120	
240	-70	-78	60		240	37	38	60	
241	-70	-75	40		241	44	41	60	
242	-70	-73	60		242	47	44	80	
243	-70	-70	0		243	47	48	20	
244	-68	-70	40		244	51	49	40	
245	-65	-68	0		245	51	51	0	
246	-66	-68	0		246	51	51	20	
247	-66	-68	40		247	54	52	0	
248	-66	-66	0		248	52	52	0	
249	-64	-66	0		249	52	52	20	
250	-66	-66	60		250	52	51	0	
251	-66	-63	100		251	52	51	20	
252	-63	-58	60		252	63	52	40	
253	-58	-55	140		253	56	50	40	
254	-50	-48	120		254	51	48	40	
255	-45	-42	120		255	48	46	40	
256	-38	-36	120		256	45	44	40	
257	-29	-30	100		257	41	42	60	
258	-24	-25	120		258	43	39	20	
259	-18	-19	80		259	43	38	40	
260	-14	-15	160		260	42	36	120	
261	-9	-7	80		261	34	30	80	
262	-6	-3	100		262	28	26	100	
263	1	2	120		263	27	21	60	
264	7	8	100		264	20	18	100	
265	17	13	120		265	13	13	60	
266	18	19	120		266	15	10	100	

267	27	25	80		267	7	5	80	
268	31	29	140		268	4	1	80	
269	36	36	100		269	2	-3	100	
270	41	41	100		270	-8	-8	40	
271	47	46	120		271	-9	-10	100	
272	51	52	80		272	-16	-15	120	
273	55	56	100		273	-16	-21	40	
274	59	61	100		274	-24	-23	80	
275	64	66	60		275	-24	-27	100	
276	70	69	80		276	-30	-32	80	
277	70	73	60		277	-34	-36	60	
278	70	76	60		278	-37	-39	80	
279	70	79	40		279	-40	-43	40	
280	70	81	20		280	-45	-45	60	
281	70	82	20		281	-47	-48	20	
282	70	83	0		282	-50	-49	20	
283	70	83	20		283	-51	-50	40	
284	70	82	20		284	-51	-52	20	
285	70	83	0		285	-53	-53	20	
286	70	83	20		286	-54	-54	0	
287	70	82	20		287	-51	-54	20	
288	70	81	20		288	-51	-55	20	
289	70	80	60		289	-52	-54	20	
290	70	77	60		290	-53	-53	0	
291	63	74	80		291	-53	-53	60	
292	70	70	20		292	-51	-56	60	
293	70	69	20		293	-53	-53	0	
294	68	68	0		294	-53	-53	20	
295	69	68	0		295	-53	-54	0	
296	69	68	60		296	-53	-54	0	
297	70	65	80		297	-53	-54	0	
298	70	61	80		298	-53	-54	0	
299	64	57	140		299	-53	-54	0	
300	59	50	80		300	-53	-54	0	
301	48	46	120		301	-53	-54	0	
302	47	40	80		302	-53	-54	0	
303	38	36	120		303	-53	-54	0	
304	36	30	60		304	-53	-54	0	
305	34	27	120		305	-53	-54	0	
306	26	21	80		306	-53	-54	0	
307	22	17	100		307	-53	-54	0	
308	15	12	100		308	-53	-54	0	

309	12	7	60		309	-53	-54	
310	5	4	80		310	5	4	80
311	1	0	60		311	1	0	60
312	-1	-3	20		312	-1	-3	20
313	-3	-4	40		313	-3	-4	40
314	-5	-6	20		314	-5	-6	20
315	-11	-7	20		315	-11	-7	20
316	-13	-6	20		316	-13	-6	20
317	-2	-7	0		317	-2	-7	0
318	-3	-7	60		318	-3	-7	60
319	-3	-4	40		319	-3	-4	40
320	-5	-6	0		320	-5	-6	0
321	-5	-6	0		321	-5	-6	0
322	0	-6	0		322	0	-6	0
323	-2	-6	0		323	-2	-6	0
324	-3	-6	0		324	-3	-6	0
325	-5	-6	20		325	-5	-6	20
326	-5	-5	20		326	-5	-5	20
327	-5	-6	20		327	-5	-6	20
328	-5	-5	20		328	-5	-5	20
329	-5	-6	20		329	-5	-6	20
330	-5	-5	0		330	-5	-5	0
331	-5	-5	0		331	-5	-5	0
332	-5	-5	0		332	-5	-5	0
333	-5	-5	0		333	-5	-5	0
334	-5	-5	0		334	-5	-5	0
335	-5	-5	0		335	-5	-5	0
336	-5	-5	0		336	-5	-5	0
337	-5	-5	0		337	-5	-5	0
338	-5	-5	0		338	-5	-5	0
339	-5	-5	0		339	-5	-5	0

Lampiran 4. Regresi Potensiometer dan Sinyal Servo

Sumbu x

No	Sudut	ADC	signal
1	20	95	960
2	24	97	980
3	26	99	1000
4	28	102	1020
5	30	103	1040
6	32	107	1060

sumbu y

No	Sudut	ADC	signal
1	22	84	890
2	25	87	910
3	27	89	930
4	29	92	950
5	32	95	970
6	35	97	990

7	35	110	1080		7	37	99	1010
8	38	112	1100		8	39	102	1030
9	40	114	1120		9	42	104	1050
10	42	118	1140		10	45	108	1070
11	44	120	1160		11	47	110	1090
12	46	121	1180		12	49	112	1110
13	49	124	1200		13	50	115	1130
14	50	126	1220		14	52	117	1150
15	53	127	1240		15	54	119	1170
16	55	130	1260		16	56	121	1190
17	57	132	1280		17	58	123	1210
18	60	134	1300		18	60	126	1230
19	61	135	1320		19	62	127	1250
20	63	138	1340		20	65	129	1270
21	66	142	1360		21	67	132	1290
22	69	143	1380		22	70	134	1310
23	70	145	1400		23	73	135	1330
24	74	148	1420		24	76	138	1350
25	75	150	1440		25	77	140	1370
26	78	152	1460		26	79	143	1390
27	80	155	1480		27	82	146	1410
28	81	156	1500		28	84	147	1430
29	84	158	1520		29	86	150	1450
30	86	161	1540		30	89	152	1470
31	89	164	1560		31	90	155	1490
32	90	166	1580		32	92	157	1510
33	93	167	1600		33	95	159	1530
34	95	169	1620		34	99	162	1550
35	99	173	1640		35	101	164	1570
36	101	175	1660		36	104	166	1590
37	102	177	1680		37	106	168	1610
38	105	178	1700		38	109	172	1630
39	108	182	1720		39	111	174	1650
40	110	184	1740		40	113	176	1670
41	113	186	1760		41	116	179	1690
42	115	189	1780		42	118	182	1710
43	118	191	1800		43	120	184	1730
44	120	194	1820		44	122	186	1750
45	123	196	1840		45	125	188	1770
46	125	198	1860		46	127	191	1790
47	128	201	1880		47	129	193	1810
48	130	201	1900		48	131	195	1830

49	133	205	1920		49	135	199	1850
50	135	208	1940		50	136	200	1870
51	137	210	1960		51	140	204	1890
52	139	211	1980		52	142	206	1910
53	142	215	2000		53	144	209	1930
54	144	217	2020		54	146	211	1950
55	147	219	2040		55	148	213	1970
56	149	221	2060		56	151	216	1990
57	151	223	2080		57	153	218	2010
58	153	225	2100		58	156	221	2030
59	155	227	2120		59	159	223	2050

Lampiran 5. Akurasi *Stabilizer Kamera*

Sumbu x

No.	Sudut Gangguan Sumbu x						
	0	-20	-40	-60	20	40	60
1	0	-20	-40	-60	20	38	61
2	0	-20	-40	-60	20	38	61
3	0	-19	-40	-60	20	38	61
4	0	-20	-40	-60	20	38	61
5	0	-19	-40	-60	20	38	61
6	0	-19	-40	-60	20	38	61
7	0	-19	-40	-60	20	38	61
8	0	-19	-40	-60	20	38	60
9	0	-19	-40	-60	20	38	61
10	0	-19	-40	-59	20	38	61
11	0	-19	-40	-59	20	38	61
12	0	-19	-40	-60	20	38	61
13	0	-19	-40	-59	20	38	61
14	0	-19	-40	-59	20	38	61
15	0	-19	-40	-60	20	38	61
16	0	-19	-40	-60	20	38	61
17	0	-19	-40	-60	20	38	61
18	0	-19	-40	-60	20	38	61
19	0	-19	-40	-60	20	38	61
20	0	-19	-40	-60	20	38	61
21	0	-19	-40	-60	20	38	61
22	0	-19	-40	-60	20	38	61
23	0	-20	-40	-60	20	38	61
24	0	-19	-40	-60	20	38	61
25	0	-19	-40	-60	20	38	61

26	0	-19	-40	-60	20	38	61
27	0	-19	-40	-60	20	38	61
28	0	-19	-40	-60	20	38	61
29	0	-19	-40	-60	20	38	61
30	0	-19	-40	-60	20	38	61
31	0	-18	-40	-60	20	38	61
32	0	-17	-40	-60	20	38	61
33	0	-18	-40	-60	20	38	61
34	0	-18	-40	-60	20	38	61
35	0	-19	-40	-60	20	38	61
36	0	-19	-40	-60	20	38	61
37	0	-19	-40	-60	20	38	61
38	0	-20	-40	-60	20	38	61
39	0	-20	-40	-60	20	38	61
40	0	-20	-40	-60	20	38	61
41	0	-20	-40	-60	20	38	61
42	0	-20	-40	-60	20	39	61
43	0	-20	-40	-60	21	39	61
44	0	-20	-40	-60	21	38	60
45	0	-20	-40	-60	21	38	60
46	0	-20	-40	-60	21	38	61
47	0	-20	-40	-60	20	38	61
48	0	-20	-40	-60	20	38	61
49	0	-20	-40	-60	20	38	61
50	0	-20	-40	-60	20	38	61
51	0	-20	-40	-60	20	38	61
52	0	-20	-40	-60	20	38	61
53	0	-20	-40	-60	20	38	61
54	0	-20	-40	-60	20	38	61
55	0	-20	-40	-60	20	38	61
56	0	-20	-40	-60	20	38	61
57	0	-20	-40	-60	20	38	61
58	0	-20	-40	-60	20	38	61
59	0	-20	-40	-60	20	38	61
60	0	-20	-40	-60	20	38	61
61	0	-20	-40	-60	20	38	61
62	0	-20	-40	-60	20	38	61
63	0	-20	-40	-60	20	38	61
64	0	-20	-40	-60	20	38	61
65	0	-20	-40	-60	20	38	61
66	0	-20	-40	-60	20	38	61
67	0	-20	-40	-60	20	38	61

68	0	-20	-40	-60	20	38	61
69	0	-20	-40	-60	20	38	61
70	0	-20	-40	-60	20	38	61
71	0	-20	-40	-60	20	38	61
72	0	-20	-40	-60	20	38	61
73	0	-20	-40	-60	20	38	61
74	0	-20	-40	-60	20	38	61
75	0	-20	-40	-60	20	38	61
76	0	-20	-40	-60	20	38	61
77	0	-20	-40	-60	20	38	61
78	0	-20	-40	-60	20	38	61
79	0	-20	-40	-60	20	38	61
80	0	-20	-40	-60	20	38	61
81	0	-20	-40	-60	20	38	61
82	0	-20	-40	-60	20	38	61
83	0	-20	-40	-60	20	38	61
84	0	-20	-40	-60	20	38	61
85	0	-20	-40	-60	20	38	61
86	0	-20	-40	-60	20	38	61
87	0	-20	-40	-60	20	38	61
88	0	-20	-40	-60	20	38	61
89	0	-20	-40	-60	20	38	61
90	0	-20	-40	-60	20	38	61
91	0	-20	-40	-60	20	38	61
92	0	-20	-40	-60	20	38	61
93	0	-20	-40	-60	20	38	61
94	0	-20	-40	-60	20	38	61
95	0	-20	-40	-60	20	38	61
96	0	-20	-40	-60	20	38	61
97	0	-20	-40	-60	20	38	61
98	0	-20	-40	-60	20	38	61
99	0	-20	-40	-60	20	38	61
100	0	-20	-40	-60	20	38	61
Rata-Rata	0.0	-19.6	-40.0	-60.0	20.0	38.0	61.0
Akurasi	100.0	-49.1	-66.7	-101.6	99.8	95.1	98.4

Sumbu y

No.	Sudut Gangguan Sumbu y						
	0	-20	-40	-60	20	40	60
1	0	-19	-38	-60	19	40	59
2	0	-19	-38	-60	19	39	59

3	0	-19	-38	-60	19	39	59
4	0	-19	-38	-60	19	40	59
5	0	-19	-38	-60	19	40	59
6	0	-19	-38	-60	19	40	59
7	0	-19	-38	-60	19	39	59
8	0	-19	-38	-60	19	39	59
9	0	-19	-38	-60	19	40	59
10	0	-19	-38	-60	19	40	59
11	0	-19	-38	-60	19	40	59
12	0	-19	-38	-60	19	39	59
13	0	-19	-38	-60	19	39	59
14	0	-18	-38	-60	19	39	59
15	0	-18	-38	-60	19	39	59
16	0	-19	-38	-60	19	40	59
17	0	-18	-38	-60	19	40	59
18	0	-19	-38	-60	19	40	59
19	0	-19	-38	-60	19	39	59
20	0	-19	-38	-60	19	39	59
21	0	-19	-38	-60	19	40	59
22	0	-19	-38	-60	19	40	59
23	0	-19	-38	-60	19	40	59
24	0	-19	-38	-60	19	39	59
25	0	-19	-38	-60	19	39	59
26	0	-19	-38	-60	19	39	59
27	0	-19	-38	-60	19	39	59
28	0	-19	-38	-60	19	40	59
29	0	-19	-38	-60	19	40	59
30	0	-19	-38	-60	19	40	59
31	0	-19	-38	-60	19	39	59
32	0	-19	-38	-60	19	39	59
33	0	-19	-38	-60	19	40	59
34	0	-18	-38	-60	19	40	59
35	0	-18	-38	-60	19	40	59
36	0	-18	-38	-60	19	39	59
37	0	-19	-38	-60	19	39	59
38	0	-19	-38	-60	19	39	59
39	0	-19	-38	-60	19	39	59
40	0	-19	-38	-60	19	40	59
41	0	-19	-38	-60	19	40	59
42	0	-19	-38	-60	19	40	59
43	0	-19	-38	-60	19	39	59
44	0	-19	-38	-60	19	39	59

45	0	-19	-38	-60	19	40	59
46	0	-19	-38	-60	19	40	59
47	0	-19	-38	-60	19	40	59
48	0	-19	-38	-60	19	39	59
49	0	-19	-38	-60	19	39	59
50	0	-19	-38	-60	19	39	59
51	0	-19	-38	-60	19	39	59
52	0	-19	-38	-60	19	40	59
53	0	-19	-38	-60	19	40	59
54	0	-19	-38	-60	19	40	59
55	0	-19	-38	-60	19	39	59
56	0	-19	-38	-60	19	39	59
57	0	-19	-38	-60	19	40	59
58	0	-19	-38	-60	19	40	59
59	0	-19	-38	-60	19	40	59
60	0	-19	-38	-60	19	39	59
61	0	-19	-38	-60	19	39	59
62	0	-19	-38	-60	19	39	59
63	0	-18	-38	-60	19	39	59
64	0	-19	-38	-60	19	40	59
65	0	-19	-38	-60	19	40	59
66	0	-19	-38	-60	19	40	59
67	0	-19	-38	-60	19	39	59
68	0	-19	-38	-60	19	39	59
69	0	-19	-38	-60	19	40	59
70	0	-19	-38	-60	19	40	59
71	0	-19	-38	-60	19	40	59
72	0	-19	-38	-60	19	39	59
73	0	-19	-38	-60	19	39	59
74	0	-19	-38	-60	19	39	59
75	0	-19	-38	-60	19	39	59
76	0	-19	-38	-60	19	40	59
77	0	-19	-38	-60	19	40	59
78	0	-19	-38	-59	19	40	59
79	0	-19	-38	-59	19	39	59
80	0	-19	-38	-60	19	39	59
81	0	-19	-38	-60	19	40	59
82	0	-19	-38	-59	19	40	59
83	0	-19	-38	-59	19	40	59
84	0	-19	-38	-60	19	39	59
85	0	-19	-38	-60	19	39	59
86	0	-19	-38	-60	19	39	59

	87	0	-19	-38	-59	19	39	59
	88	0	-19	-38	-59	19	40	59
	89	0	-19	-38	-60	19	40	59
	90	0	-19	-38	-60	19	40	59
	91	0	-19	-38	-60	19	39	59
	92	0	-19	-38	-60	19	39	59
	93	0	-19	-38	-59	19	40	59
	94	0	-19	-38	-59	19	40	59
	95	0	-19	-38	-60	19	40	59
	96	0	-19	-38	-60	19	39	59
	97	0	-19	-38	-60	19	39	59
	98	0	-19	-38	-60	19	39	59
	99	0	-19	-38	-60	19	39	59
	100	0	-18	-38	-60	19	40	59
Rata-Rata		-	-	-	19.0	39.5	59.0	
Akurasi		100.0	94.6	95.0	99.9	95.0	98.8	98.3

A. Respon Stabilizer Kamera

No.	Sudut Gangguan	Sudut x Stabilizer	Sudut x Sensor	kec. Sudut Gangguan	No.	Sudut Gangguan	Sudut y Stabilizer	Sudut y Sensor	kec. Sudut gangguan
1	-9	7	-7	0	1	0	1	1	0
2	-9	7	-7	0	2	0	0	1	0
3	-9	7	-7	0	3	0	0	1	0
4	-9	7	-7	0	4	0	0	1	0
5	-9	7	-7	0	5	0	0	0	0
6	-9	7	-7	0	6	0	0	1	0
7	-9	7	-7	0	7	0	0	1	0
8	-9	6	-6	20	8	0	0	1	0
9	-8	7	-6	20	9	0	0	1	0
10	-9	6	-8	20	10	0	0	1	0
11	-8	7	-8	20	11	0	0	0	0
12	-9	7	-6	0	12	0	-1	1	0
13	-9	7	-7	0	13	0	0	1	0
14	-9	8	-7	0	14	0	0	1	0
15	-9	7	-6	0	15	0	0	1	0
16	-9	7	-7	0	16	0	0	1	0
17	-9	7	-7	0	17	0	0	1	0
18	-9	8	-7	0	18	0	0	2	0
19	-9	7	-7	20	19	0	-2	1	20
20	-8	7	-7	20	20	1	-1	1	20

21	-9	8	-7	20	21	2	-1	1	20
22	-8	7	-7	20	22	3	-1	5	0
23	-9	8	-7	0	23	3	-2	3	20
24	-9	7	-7	20	24	4	-2	5	20
25	-8	8	-7	0	25	3	-4	5	80
26	-8	7	-7	0	26	7	-4	5	80
27	-8	7	-7	20	27	11	-3	7	0
28	-9	7	-7	20	28	11	-7	13	100
29	-8	7	-7	0	29	16	-9	19	60
30	-8	8	-7	20	30	19	-13	20	60
31	-9	7	-7	20	31	22	-19	23	40
32	-8	8	-7	0	32	24	-21	25	40
33	-8	7	-7	20	33	26	-24	29	40
34	-9	7	-8	20	34	28	-27	29	100
35	-8	6	-2	20	35	33	-27	33	60
36	-7	7	-7	40	36	36	-30	34	60
37	-5	7	-7	40	37	39	-32	36	40
38	-7	4	-4	80	38	41	-34	42	60
39	-3	7	-1	20	39	44	-37	44	20
40	-2	5	-3	40	40	45	-41	45	60
41	0	3	-2	0	41	48	-43	46	20
42	0	3	3	20	42	49	-45	50	40
43	-1	-1	3	40	43	51	-48	50	20
44	1	-2	-6	0	44	52	-49	51	40
45	1	-2	-3	40	45	54	-51	55	40
46	3	0	4	80	46	56	-52	56	40
47	7	0	5	120	47	58	-55	59	40
48	13	-2	11	60	48	60	-56	58	0
49	16	-6	16	80	49	60	-58	57	20
50	20	-12	21	100	50	61	-58	60	0
51	25	-17	28	80	51	61	-59	60	20
52	29	-22	30	80	52	60	-59	59	0
53	33	-27	33	100	53	60	-60	59	20
54	38	-31	39	80	54	61	-59	59	0
55	42	-34	42	60	55	61	-60	59	0
56	45	-39	47	60	56	61	-60	59	0
57	48	-43	48	60	57	61	-59	59	20
58	51	-48	52	40	58	60	-60	59	20
59	53	-49	54	40	59	61	-59	59	20
60	55	-52	56	40	60	60	-60	60	0
61	57	-55	56	40	61	60	-60	60	20
62	59	-56	61	20	62	59	-60	58	40

63	60	-59	61	0	63	57	-60	58	20	
64	60	-62	61	40	64	56	-60	58	60	
65	62	-60	63	20	65	53	-60	55	20	
66	63	-62	61	0	66	52	-58	51	40	
67	63	-67	68	20	67	50	-57	48	20	
68	64	-63	66	20	68	49	-52	49	40	
69	65	-66	66	0	69	47	-52	51	60	
70	65	-66	66	20	70	44	-51	47	60	
71	66	-64	67	20	71	41	-51	44	60	
72	65	-66	66	20	72	38	-48	41	80	
73	66	-66	66	0	73	34	-44	36	80	
74	66	-65	66	20	74	30	-41	35	60	
75	65	-67	66	0	75	27	-37	28	80	
76	65	-64	66	0	76	23	-33	26	80	
77	65	-65	64	60	77	19	-29	24	60	
78	62	-66	64	20	78	16	-25	15	80	
79	61	-65	65	40	79	12	-20	15	40	
80	59	-65	61	60	80	10	-15	9	80	
81	56	-65	58	40	81	6	-12	11	60	
82	54	-62	57	40	82	3	-10	6	60	
83	52	-60	54	20	83	0	-9	1	40	
84	51	-58	51	40	84	-2	-3	-2	60	
85	49	-56	54	40	85	-5	0	-5	60	
86	47	-53	52	80	86	-8	4	-10	60	
87	43	-53	50	80	87	-11	7	-10	80	
88	39	-53	44	60	88	-15	9	-13	60	
89	36	-50	40	100	89	-18	10	-15	20	
90	31	-45	35	80	90	-19	13	-18	40	
91	27	-40	31	100	91	-21	16	-21	80	
92	22	-36	28	80	92	-25	18	-21	60	
93	18	-32	23	60	93	-28	21	-28	60	
94	15	-27	18	80	94	-31	23	-30	40	
95	11	-22	14	60	95	-33	27	-32	60	
96	8	-17	10	80	96	-36	31	-35	60	
97	4	-12	9	60	97	-39	33	-39	80	
98	1	-9	6	80	98	-43	35	-40	20	
99	-3	-9	1	40	99	-44	37	-42	40	
100	-5	-4	0	100	100	-46	38	-43	20	
101	-10	-1	-9	100	101	-45	41	-43	60	
102	-15	4	-14	60	102	-48	41	-14	420	
103	-18	9	-15	80	103	-69	24	-50	420	
104	-22	13	-24	80	104	-48	38	-50	20	

105	-26	18	-22	80	105	-49	42	-48	40
106	-30	21	-26	60	106	-51	44	-51	20
107	-33	23	-31	80	107	-50	48	-51	20
108	-37	26	-35	80	108	-51	49	-50	20
109	-41	30	-37	60	109	-50	50	-51	20
110	-44	35	-43	60	110	-51	49	-51	0
111	-47	38	-45	60	111	-51	50	-51	0
112	-50	42	-49	80	112	-51	49	-51	0
113	-54	45	-52	60	113	-51	50	-50	0
114	-57	49	-55	60	114	-51	50	-50	0
115	-60	53	-58	60	115	-51	50	-50	0
116	-63	57	-61	60	116	-51	50	-50	0
117	-66	59	-64	60	117	-51	50	-50	0
118	-69	63	-66	20	118	-51	49	-51	0
119	-70	66	-65	60	119	-51	49	-51	20
120	-73	66	-70	40	120	-50	49	-51	20
121	-75	67	-70	0	121	-49	49	-51	20
122	-75	69	-70	40	122	-48	49	-51	60
123	-77	70	-70	20	123	-45	49	-47	20
124	-78	70	-70	20	124	-44	48	-41	20
125	-77	70	-70	0	125	-43	44	-42	20
126	-77	70	-70	0	126	-42	40	-42	0
127	-77	70	-70	0	127	-42	39	-41	40
128	-77	70	-70	0	128	-40	39	-38	20
129	-77	70	-70	20	129	-39	37	-40	80
130	-76	70	-70	20	130	-35	38	-39	40
131	-75	70	-70	20	131	-33	37	-38	120
132	-74	70	-70	20	132	-27	38	-32	60
133	-73	70	-70	80	133	-24	34	-22	140
134	-69	70	-70	20	134	-17	28	-17	80
135	-68	70	-63	60	135	-13	21	-14	100
136	-65	69	-64	20	136	-8	15	-8	100
137	-64	66	-62	20	137	-3	11	-3	60
138	-63	63	-62	0	138	0	6	-1	80
139	-63	63	-63	20	139	4	1	5	40
140	-62	63	-63	80	140	6	-3	5	100
141	-58	63	-62	20	141	11	-5	14	80
142	-57	60	-55	140	142	15	-10	19	100
143	-50	58	-52	100	143	20	-14	20	20
144	-45	53	-47	40	144	21	-22	28	60
145	-43	47	-39	180	145	24	-28	28	140
146	-34	42	-35	80	146	31	-25	32	40

147	-30	37	-30	80	147	33	-30	35	120
148	-26	30	-27	100	148	39	-32	39	60
149	-21	27	-19	100	149	42	-35	40	40
150	-16	22	-15	100	150	44	-39	44	80
151	-11	17	-10	100	151	48	-40	47	20
152	-6	12	-1	80	152	49	-45	49	40
153	-2	6	1	80	153	51	-47	51	20
154	2	0	2	60	154	52	-51	51	60
155	5	-2	7	80	155	55	-49	55	20
156	9	-6	13	120	156	56	-52	55	20
157	15	-7	15	40	157	57	-54	57	0
158	17	-15	20	120	158	57	-57	57	20
159	23	-16	24	60	159	58	-55	58	0
160	26	-21	27	100	160	58	-58	58	0
161	31	-23	31	100	161	58	-58	57	0
162	36	-27	34	80	162	58	-57	58	0
163	40	-30	39	80	163	58	-56	58	20
164	44	-34	43	80	164	57	-58	58	20
165	48	-40	46	80	165	56	-57	58	40
166	52	-42	54	80	166	54	-57	56	40
167	56	-49	58	80	167	52	-58	53	20
168	60	-53	58	80	168	51	-56	51	60
169	64	-57	63	40	169	48	-56	48	20
170	66	-60	66	40	170	47	-53	47	40
171	68	-62	67	60	171	45	-50	47	60
172	71	-64	70	20	172	42	-49	47	120
173	72	-67	70	0	173	36	-51	44	80
174	72	-69	70	40	174	32	-48	34	80
175	74	-68	70	20	175	28	-43	27	100
176	73	-72	70	20	176	23	-37	30	80
177	72	-86	43	20	177	19	-32	22	80
178	71	-67	61	80	178	15	-27	22	100
179	75	-80	70	60	179	10	-23	14	60
180	72	-67	65	20	180	7	-18	8	80
181	73	-67	70	20	181	3	-12	8	60
182	72	-68	70	20	182	0	-9	3	80
183	73	-67	70	20	183	-4	-4	0	100
184	72	-68	70	0	184	-9	-2	-10	100
185	72	-68	70	0	185	-14	5	-12	100
186	72	-68	70	20	186	-19	9	-14	100
187	71	-69	70	0	187	-24	12	-24	60
188	71	-68	70	20	188	-27	18	-25	80

189	70	-69	70	20	189	-31	22	-32	100
190	69	-68	70	40	190	-36	27	-35	40
191	67	-69	69	0	191	-38	31	-35	60
192	67	-68	68	40	192	-41	35	-39	160
193	65	-68	67	40	193	-49	34	-45	0
194	63	-68	64	40	194	-49	39	-49	80
195	61	-68	64	20	195	-53	43	-51	40
196	60	-67	62	60	196	-55	48	-56	60
197	57	-65	62	80	197	-58	53	-57	40
198	53	-64	60	60	198	-60	56	-60	40
199	50	-62	55	100	199	-62	59	-61	20
200	45	-60	48	80	200	-63	62	-62	20
201	41	-57	45	80	201	-64	62	-62	20
202	37	-51	43	120	202	-65	63	-65	20
203	31	-47	37	80	203	-66	63	-65	40
204	27	-42	35	140	204	-64	65	-64	40
205	20	-40	26	100	205	-62	66	-62	0
206	15	-33	23	80	206	-62	66	-61	0
207	11	-27	15	100	207	-62	65	-59	0
208	6	-21	9	100	208	-62	62	-59	0
209	1	-14	6	100	209	-62	60	-60	40
210	-4	-9	-4	60	210	-60	60	-60	40
211	-7	-3	-6	160	211	-58	59	-58	20
212	-15	1	-14	40	212	-57	59	-57	0
213	-17	9	-18	120	213	-57	58	-56	40
214	-23	13	-26	100	214	-55	57	-55	0
215	-28	20	-26	100	215	-55	55	-56	0
216	-33	24	-28	80	216	-55	55	-55	20
217	-37	27	-36	100	217	-54	55	-55	20
218	-42	31	-38	80	218	-53	55	-56	0
219	-46	35	-45	80	219	-53	54	-54	80
220	-50	39	-48	80	220	-49	54	-51	120
221	-54	44	-53	80	221	-43	53	-44	100
222	-58	49	-56	80	222	-38	47	-40	60
223	-62	53	-59	80	223	-35	41	-36	80
224	-66	57	-64	60	224	-31	36	-32	60
225	-69	62	-67	40	225	-28	32	-28	80
226	-71	66	-69	80	226	-24	29	-22	60
227	-75	69	-70	40	227	-21	24	-22	100
228	-77	70	-70	40	228	-16	22	-18	60
229	-79	70	-70	0	229	-13	18	-14	140
230	-79	70	-70	20	230	-6	16	-10	80

231	-80	70	-70	0	231	-2	12	-3	100
232	-80	70	-70	20	232	3	7	1	80
233	-79	70	-70	0	233	7	1	7	80
234	-79	70	-70	0	234	11	-3	14	120
235	-79	70	-70	0	235	17	-9	17	80
236	-79	70	-70	0	236	21	-13	23	80
237	-79	70	-70	0	237	25	-19	26	60
238	-79	70	-70	20	238	28	-22	28	80
239	-78	70	-70	0	239	32	-29	36	120
240	-78	70	-70	60	240	38	-29	37	60
241	-75	70	-70	40	241	41	-34	44	60
242	-73	70	-70	60	242	44	-40	47	80
243	-70	70	-70	0	243	48	-42	47	20
244	-70	70	-68	40	244	49	-47	51	40
245	-68	70	-65	0	245	51	-48	51	0
246	-68	69	-66	0	246	51	-52	51	20
247	-68	66	-66	40	247	52	-51	54	0
248	-66	66	-66	0	248	52	-52	52	0
249	-66	66	-64	0	249	52	-51	52	20
250	-66	66	-66	60	250	51	-53	52	0
251	-63	66	-66	100	251	51	-54	52	20
252	-58	66	-63	60	252	52	-53	63	40
253	-55	65	-58	140	253	50	-56	56	40
254	-48	61	-50	120	254	48	-58	51	40
255	-42	55	-45	120	255	46	-57	48	40
256	-36	47	-38	120	256	44	-52	45	40
257	-30	40	-29	100	257	42	-50	41	60
258	-25	33	-24	120	258	39	-45	43	20
259	-19	26	-18	80	259	38	-43	43	40
260	-15	19	-14	160	260	36	-43	42	120
261	-7	16	-9	80	261	30	-43	34	80
262	-3	11	-6	100	262	26	-41	28	100
263	2	7	1	120	263	21	-36	27	60
264	8	3	7	100	264	18	-31	20	100
265	13	-3	17	120	265	13	-27	13	60
266	19	-10	18	120	266	10	-20	15	100
267	25	-15	27	80	267	5	-14	7	80
268	29	-22	31	140	268	1	-11	4	80
269	36	-26	36	100	269	-3	-6	2	100
270	41	-31	41	100	270	-8	-4	-8	40
271	46	-37	47	120	271	-10	3	-9	100
272	52	-40	51	80	272	-15	7	-16	120

273	56	-47	55	100	273	-21	11	-16	40
274	61	-51	59	100	274	-23	15	-24	80
275	66	-55	64	60	275	-27	19	-24	100
276	69	-60	70	80	276	-32	22	-30	80
277	73	-64	70	60	277	-36	26	-34	60
278	76	-67	70	60	278	-39	30	-37	80
279	79	-68	70	40	279	-43	34	-40	40
280	81	-68	70	20	280	-45	37	-45	60
281	82	-69	70	20	281	-48	40	-47	20
282	83	-68	70	0	282	-49	44	-50	20
283	83	-69	70	20	283	-50	46	-51	40
284	82	-69	70	20	284	-52	49	-51	20
285	83	-69	70	0	285	-53	50	-53	20
286	83	-69	70	20	286	-54	49	-54	0
287	82	-70	70	20	287	-54	52	-51	20
288	81	-68	70	20	288	-55	50	-51	20
289	80	-70	70	60	289	-54	52	-52	20
290	77	-70	70	60	290	-53	52	-53	0
291	74	-73	63	80	291	-53	52	-53	60
292	70	-78	70	20	292	-56	52	-51	60
293	69	-70	70	20	293	-53	52	-53	0
294	68	-69	68	0	294	-53	53	-53	20
295	68	-68	69	0	295	-54	53	-53	0
296	68	-68	69	60	296	-54	53	-53	0
297	65	-69	70	80	297	-54	53	-53	0
298	61	-70	70	80	298	-54	53	-53	0
299	57	-68	64	140	299	-54	53	-53	0
300	50	-71	59	80	300	-54	53	-53	0
301	46	-65	48	120	301	-54	53	-53	0
302	40	-61	47	80	302	-54	53	-53	0
303	36	-54	38	120	303	-54	53	-53	0
304	30	-50	36	60	304	-54	53	-53	0
305	27	-42	34	120	305	-54	53	-53	0
306	21	-37	26	80	306	-54	53	-53	0
307	17	-32	22	100	307	-54	53	-53	0
308	12	-26	15	100	308	-54	53	-53	0
309	7	-22	12	140	309	-54	53	-53	0